

2019

Weekly / Semanal **Influenza Report EW 8/ Reporte de Influenza SE 8**

Regional Update: Influenza & Other Respiratory Viruses /
Actualización Regional: Influenza y Otros virus respiratorios



**March 6, 2019
6 de marzo de 2019**

*Data as of March 1, 2019/
Datos hasta el 1 de marzo de 2019*

*Prepared by PHE/IHM/Influenza Team/
Realizado por PHE/IHM/Equipo de Influenza*

WEEKLY REPORT DATA SOURCES

The information presented in this update is based on data provided by Ministries of Health and National Influenza Centers of Member States to the informatics global platforms

http://www.who.int/influenza/gisrs_laboratory/flunet/en/

and http://www.who.int/influenza/surveillance_monitoring/fluid/en/ ;

and reports/weekly bulletins that Ministries of Health published on its website or shared with PAHO/WHO.

La información presentada en esta actualización se obtiene a partir de los datos notificados por los Ministerios de Salud y los Centros Nacionales de Influenza de los Estados Miembros a las plataformas informáticas globales de la OPS/OMS: [FluNet](#) y [Fluid](#); y de los informes/boletines semanales que los Ministerios de Salud publican en sus páginas web o comparten con OPS/OMS.

PAHO INFLUENZA LINKS

PAHO interactive data / Datos interactivos de la OPS:

PAHO FluNet: http://ais.paho.org/php/viz/ed_flu.asp

PAHO Fluid: <http://ais.paho.org/php/viz/flumart2015.as>

Influenza Regional Reports / Informes regionales de influenza:

In English: <http://www.paho.org/influenzareport>

En español: www.paho.org/reportesinfluenza

Severe acute respiratory infections network - SARinet
Red de las infecciones respiratorias agudas graves - SARinet:

<http://www.sarinet.org>

[Go to Index/](#)
[Ir al Índice](#)

REPORT INDEX

ÍNDICE DE LA ACTUALIZACIÓN

Section	Content	Page
1	<u>Weekly Summary / Resumen Semanal</u>	4
2	<u>Overall Influenza and RSV circulation / Circulación general de los virus influenza y VSR</u>	6
3	<u>Weekly and Cumulative numbers / Números semanales y acumulados</u>	8
4	<u>Epidemiological and Virologic update by country / Actualización epidemiológica y virológica por país</u>	9
5	<u>Acronyms / Acrónimos</u>	36

WEEKLY SUMMARY (ENGLISH)

North America: Overall, influenza activity decreased in [Canada](#); and influenza activity remained elevated in the [United States](#). Influenza A(H1N1)pdm09, influenza A(H3N2), and influenza B co-circulated. In [Mexico](#), influenza activity continued to decrease and influenza-associated SARI/ILI activity decreased with a predominance of influenza A(H1N1)pdm09.

Caribbean: In general, influenza virus activity decreased in the sub-region. In [Jamaica](#) influenza detections and SARI cases increased with influenza A circulating and in Suriname influenza activity has been recorded a decreasing trend.

Central America: Influenza activity was low throughout the sub-region with influenza A(H1N1)pdm09 predominating. In [Guatemala](#), influenza activity increased with influenza A (H1N1)pdm09 predominance however severity indicators remained low. Overall, in the subregion RSV activity decreased.

Andean Region: Influenza activity decreased in the sub-region with influenza A(H3N2) predominance and moderate SARI activity. In [Bolivia](#), [Colombia](#) and [Ecuador](#), RSV activity increased.

Brazil and Southern Cone: Overall low activity of influenza and RSV was reported throughout the subregion.

Global: In North America, influenza activity continued increased in the United States of America. In Europe, influenza activity remained elevated across the continent and was reported as widespread in most of the countries. In North Africa, influenza activity remained elevated. In East Asia, influenza activity decreased, with influenza A(H1N1)pdm09 predominating. In the temperate zones of the southern hemisphere, influenza activity remained at inter-seasonal levels, with the exception of some parts of Australia where influenza activity remained above inter-seasonal levels.

RESUMEN SEMANAL (ESPAÑOL)

América del Norte: En general, la actividad de influenza disminuyó en [Canadá](#), y se mantuvo elevada en los [Estados Unidos](#); co-circularon influenza A(H1N1)pdm09, influenza A (H3N2), e influenza B.. En [México](#), la actividad de influenza continuó en disminución y la actividad de IRAG/ETI asociada a influenza disminuyó con predominio de influenza A(H1N1)pdm09.

Caribe: En general, la actividad del virus influenza disminuyó en la subregión. En [Jamaica](#) la actividad de influenza y la detección de casos de IRAG aumentaron con circulación de influenza A y en [Suriname](#) la actividad de influenza ha registrado una tendencia decreciente.

América Central: La actividad de influenza fue baja en toda la subregión con predominio de influenza A (H1N1)pdm09. En [Guatemala](#), la actividad de influenza aumentó con predominio de influenza A(H1N1)pdm09, sin embargo los indicadores de gravedad permanecen bajos. En general, en la subregión disminuyó la actividad de VRS.

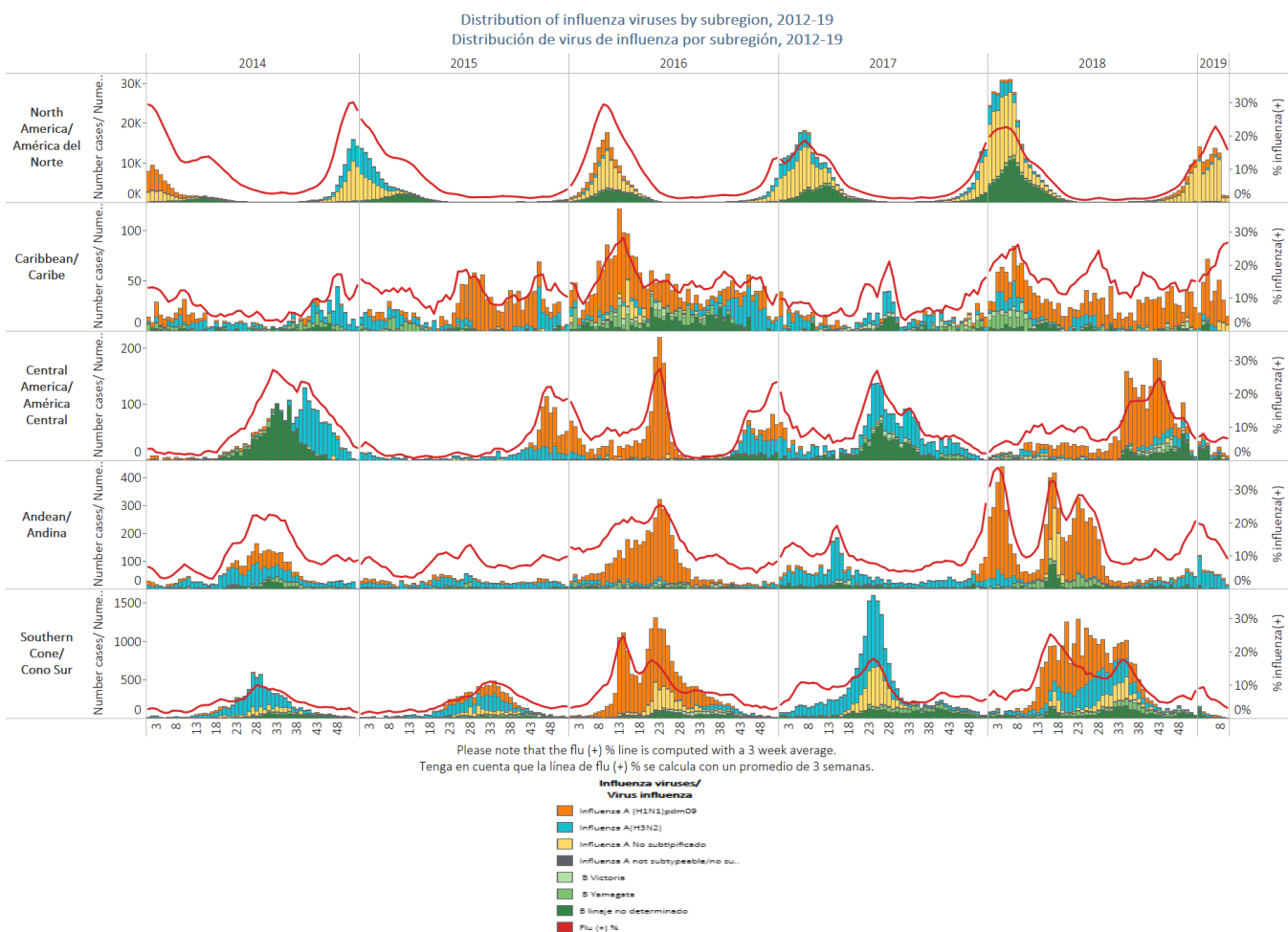
Sub-región Andina: La actividad de influenza disminuyó en la subregión con el predominio de influenza A(H3N2) y con moderada actividad de IRAG. En [Bolivia](#), [Colombia](#) y [Ecuador](#), la actividad del VRS aumentó.

Brasil y Cono Sur: En general, se reportó baja actividad de influenza y del VRS den toda la subregión.

Global: En América del Norte, la actividad de la influenza continuó elevada en los Estados Unidos de América. En Europa, la actividad de influenza se mantuvo elevada en todo el continente y se reportó generalizada en la mayoría de los países. En el norte de África, la actividad de influenza se mantuvo elevada. En el este de Asia, la actividad de influenza disminuyó, con predominio de influenza A(H1N1)pdm09. En las zonas templadas del hemisferio sur, la actividad de influenza se mantuvo en niveles interestacionales, con la excepción de algunas partes de Australia donde la actividad de influenza se mantuvo por encima de los niveles interestacionales.

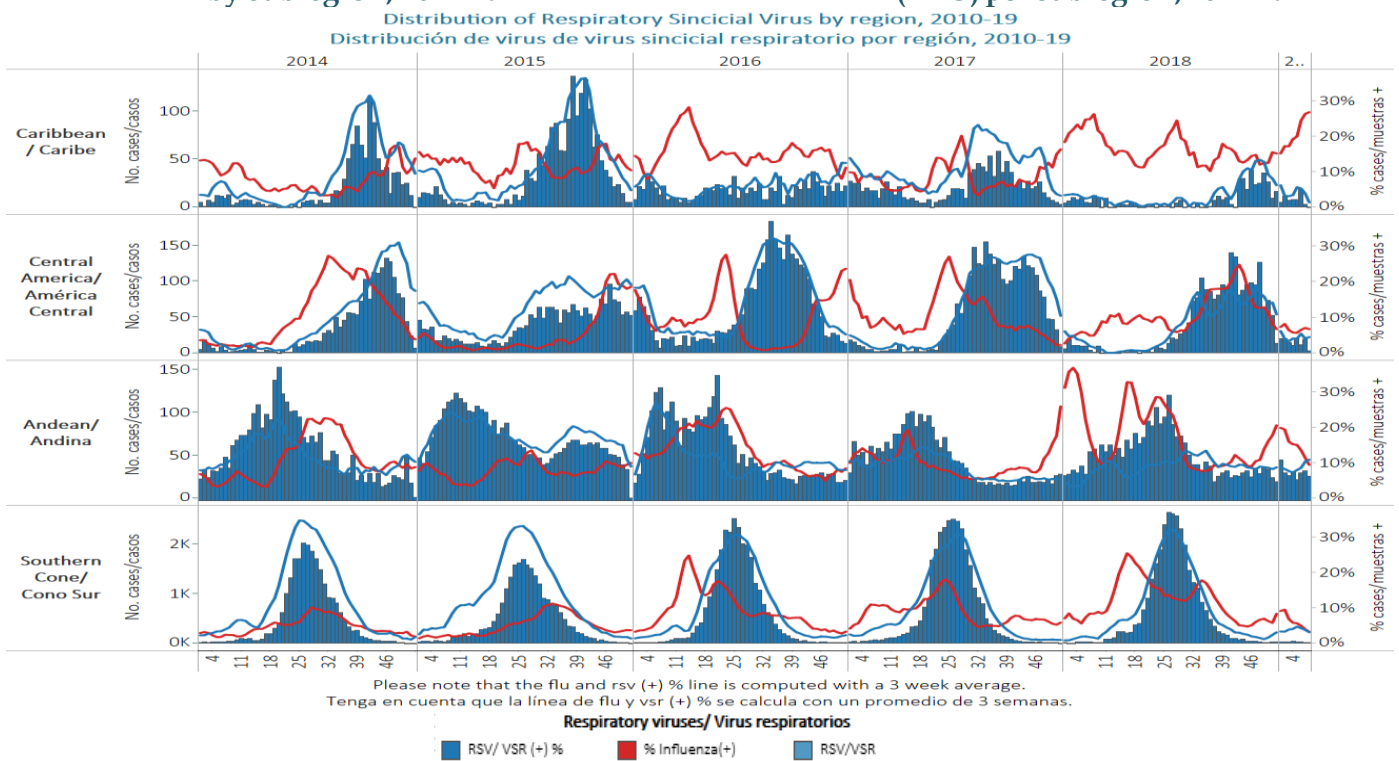
Influenza circulation by subregion, 2014-19

Circulación de virus influenza por subregión, 2014-19



Respiratory syncytial virus (RSV) circulation by subregion, 2014-19

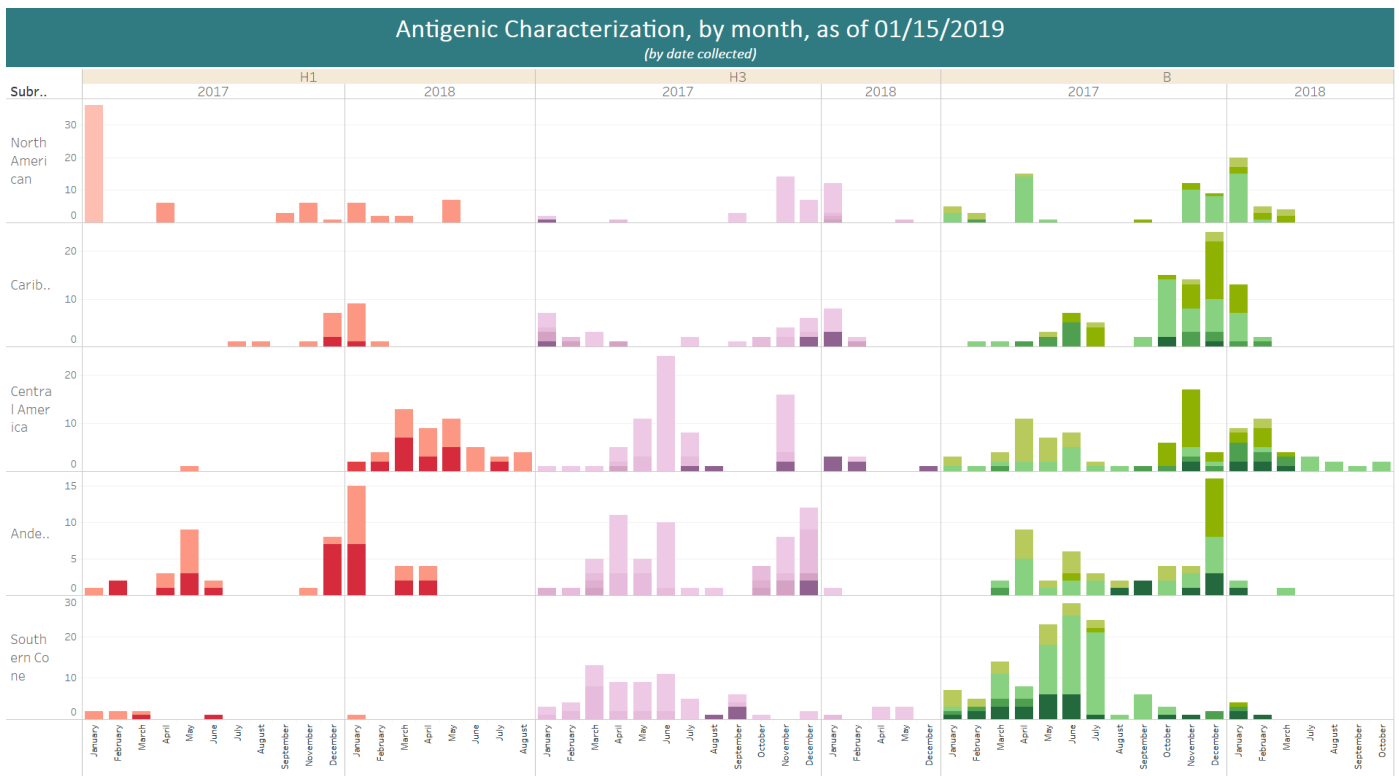
Circulación de virus respiratorio sincitial (VRS) por subregión, 2014-19



*To view more lab data, view [here](#). / Para ver más datos de laboratorio, vea [aquí](#).

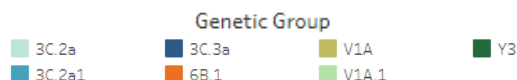
Genetic Characterization of Influenza Virus by Subregion, 2017-18

Caracterización Genética de los Virus Influenza por Subregión, 2017-18



Sum of Number of Records for each Date Coll't Month broken down by Characterization 1 (GROUPS) and Date Coll't Year vs. Subregions. Color shows details about Characterization 1 (GROUPS) and Characterization 1. The data is filtered on ALL COUNTRIES and Date Coll't. The ALL COUNTRIES filter keeps 36 of 30 members. The Date Coll't filter ranges from 1/2/2017 to 2/15/2019. The view is filtered on Characterization 1 (GROUPS), Characterization 1, Date Coll't Year, Date Coll't Month and Subregions. The Characterization 1 (GROUPS) filter keeps B, H1 and H3. The Characterization 1 filter keeps 96 of 104 members. The Date Coll't Year filter keeps 13 of 13 members. The Date Coll't Month filter keeps 13 of 13 members. The Subregions filter keeps Andean, Caribbean, Central America, North American and Southern Cone.

These data are from the WHO –Collaborating Center at the U.S. CDC.
Estos datos son recolectados desde el CC de la OMS en los CDC de EE. UU.



Weekly and cumulative numbers of influenza and other respiratory virus, by country and EW, 2019¹ Números semanales y acumulados de influenza y otros virus respiratorios, por país y SE, 2019²

EW 8, 2019 / SE 8, 2019

		N muestras	FLUAH3	FLU H1N1	Influenza A non-subtyp..	FLUA NoSa	B Victoria	B Yamagata	B linaje no deter..	Influenza a (+) %	Adeno..	Parainf..	VSR	% RSV/VSR (+)	Bocavi..	Coron..	Metap..	Rinovir..	% All Positive Sampl..
North America/ América del N.	Canada	8,708	235	216	1,067				40	15.4%									15.4%
América del N.	Mexico	504	42	78	0	7	13	23	16	35.5%	0	1	0	0%	0	0	0	1	35.9%
Caribbean/ Caribe	Belize	13	0	0	0	0	0	0	0	0.0%	0	0	0	0%	0	0	0	0	0.0%
Cuba IRAG	16	0	0	2	0	0	0	0	0	12.5%	1	0	0	0%	0	0	0	3	37.5%
Dominican Rep..	3			0						0.0%									0.0%
Jamaica	9	0	0	5	0	0	0	0	0	55.6%	0	0	0	0%					55.6%
Suriname	15	0	8	0	0	0	0	0	0	53.3%	0	0	0	0%	0	0	0	0	53.3%
Central America/ América Central	El Salvador*	24	0	0	0	0	0	0	0	0.0%	0	0	1	4%	0	0	0	0	4.2%
Guatemala	14	2	3	0			1			64.3%									64.3%
Honduras	7	0	0	0	0	0	0	0	0	0.0%	0	1	0	0%					14.3%
Nicaragua	77			0					2	2.6%	1	8							14.3%
Panama	29	0	1	0	0	0	0	0	0	3.4%	0	7	2	7%	0	0	0	9	65.5%
Andean/ Andina	Bolivia	73	1	0	0	0	0	0	0	1.4%	0	1	12	16%	0	0	0	0	19.2%
Colombia	106	6	3	0					0	8.5%	4	4	12	11%	2	3	0	2	34.0%
Ecuador IRAG	23	2	1	0						13.0%			3	13%					26.1%
Peru	35	3	0	0	0	0	0	0	0	8.6%	0	1	1	3%	0	0	0	0	14.3%
Brazil & Southern Cone/ Brasil y Cono Sur	Brazil	59		0						0.0%			3	4%					4.2%
Chile	319	5	1	3			4			4.1%	14	16	3	1%				1	14.7%
Paraguay	32	0		0		0	0	0	0	0.0%	0	0	4	13%	0	0	0	0	12.5%
Paraguay IRAG	11	0	0	0	0	0	0	0	0	0.0%	0	0	1	9%	0	0	0	0	9.1%
Uruguay ETI	1			0						0.0%			1	20%					0.0%
Uruguay IRAG	5		0							0.0%									20.0%
Grand Total		10,083	296	311	1,077	7	13	28	58	15.6%	20	39	43	0%	2	3	1	15	16.8%

These are the raw numbers provided in the country's FluNet update (Not the smoothed averages)

Estos son los números crudos proporcionados en la actualización FluNet del país (no los promedios suavizados)

*Please note blank cells indicate N/A.

*Por favor notar que las celulas en blanco indican N/A.

* NIC laboratory data only / datos de laboratorio solo del NIC

EW 5 - EW 8, 2019 / SE 5 - SE 8, 2019																			
		N samples/muestras	Influenza A(H3N2)*	Influenza A(H1N1)*	Influenza A non-subtyped*	Influenza B Victoria*	Influenza B Yamagata*	Influenza B linaje undetermin..	Influenza (+) %	Adenoviru..	Parainflue..	RSV/VSR*	% RSV/VSR (+)	Bocavirus*	Coronavir..	Metapneu..	Rinovirus*	% All Positive Samples (+)	
North America/ América del N.	Mexico	2,374	30	610	0	33	59	22	33.0%	1	8	19	0.8%	0	2	5	7	34.8%	
América del N.	USA	86,415	838	1,646	18,786	23	15	471	25.5%	0	0	0		0	0	0	0	25.5%	
Caribbean/ Caribe	Aruba	9	0	8	0	0	0	0	88.9%	0	0	1	11.1%	0	0	0	0	100.0%	
CARPHA	Belize	19	0	0	1	1	0	0	10.5%	0	0	1	5.3%	0	0	0	0	15.8%	
Cuba	42	1	12	0	0	0	0	0	31.0%	0	0	1	2.4%	0	0	0	0	33.3%	
Cuba IRAG	57	0	1	0	0	0	0	0	1.8%	1	1	11	19.3%	0	4	0	4	42.1%	
Dominican Rep..	36	0	0	0	0	0	0	0	0.0%	0	0	0		0	0	0	0	0.0%	
Haiti	9	0	0	0	0	0	0	0	0.0%	0	0	0	0.0%	0	0	0	0	0.0%	
Jamaica	47	1	8	9	0	0	0	0	38.3%	1	0	1	2.1%	0	0	0	0	42.6%	
Saint Vincent an..	1	0	1	0	0	0	0	0	100.0%	0	0	0		0	0	0	0	100.0%	
Suriname	100	1	42	0	0	0	0	0	43.0%	0	0	1	1.0%	0	0	0	0	44.0%	
Trinidad and To..	32	1	3	0	0	0	0	0	12.5%	0	0	0		0	0	0	0	12.5%	
Central America/ América Central	Costa Rica	130	1	7	0	1	0	3	9.2%	0	11	5	3.8%	0	0	51	51	100.0%	
El Salvador	58	0	0	0	0	0	0	0	0.0%	0	0	2	3.4%	0	0	0	0	3.4%	
El Salvador*	54	0	0	0	0	0	0	0	0.0%	2	0	6	11.1%	0	0	0	0	14.8%	
Guatemala	46	3	4	1	0	3	0	43.5%	0	1	0	0		0	0	3	0	52.2%	
Honduras	83	3	1	0	0	0	1	6.0%	1	0	16	19.3%	0	0	0	0	0	26.5%	
Nicaragua	224	1	0	0	0	0	10	4.9%	1	5	0	0		0	0	0	0	7.6%	
Panama	95	0	0	0	0	0	0	0.0%	11	8	3	3.2%	1	3	2	26	58.9%		
Andean/ Andina	Bolivia	148	14	0	0	0	0	0	9.5%	1	1	16	10.8%	0	0	0	0	21.6%	
Colombia	232	15	7	0	0	0	2	10.3%	9	6	24	10.3%	1	4	2	6	33.2%		
Ecuador IRAG	206	16	2	0	0	0	0	8.7%	0	3	13	6.3%	0	0	0	0	0	16.5%	
Peru	100	33	0	0	0	0	0	33.0%	0	0	1	1.0%	0	0	0	2	1	37.0%	
Venezuela	10	0	0	0	0	0	0	0.0%	0	0	0	0.0%	0	0	0	0	0	0.0%	
Brazil & Southern Cone/ Brasil y Cono Sur	Bolivia	67	5	0	0	0	0	0	7.5%	0	1	5	7.5%	0	0	0	0	0	16.4%
Brazil	333	5	25	0	0	0	14	13.2%	3	6	15	4.5%	0	0	5	2	2	25.5%	
Chile	624	3	8	1	0	5	2	3.0%	21	19	9	1.4%	0	0	3	0	0	11.4%	
Chile_IRAG	45	2	0	0	0	0	0	4.4%	1	0	3	6.7%	0	0	1	0	0	15.6%	
Paraguay	118	0	3	0	0	0	0	2.5%	1	4	16	13.6%	0	0	1	0	0	21.2%	
Paraguay IRAG	116	0	1	0	0	0	0	0.9%	3	3	12	10.3%	0	0	1	0	0	17.2%	
Uruguay IRAG	5	0	0	0	0	0	0	0.0%	0	0	0	0	0	0	0	0	0	0.0%	
Grand Total		90,874	973	2,390	18,798	58	82	525	25.2%	58	78	191	0.2%	2	16	76	100	25.7%	

Total Influenza B, EW 50, 2018-7, 2019

	Total Influenza B	B Victoria	B Yamagata	B linaje no deter..	% B Victoria	% B Yamagata
North America/ América del Norte	1,234	127	132	975	49%	51%
Caribbean/ Caribe	7	4	2	1	67%	33%
Central America/ América Central	37	4	9	24	31%	69%
Andean/ Andina	13	0	1	12	0%	100%
Brazil & Southern Cone/ Brasil y Cono Sur	130	7	22	101	24%	76%
Grand Total	1,421	142	166	1,113	46%	54%

¹ The detection of respiratory viruses other than influenza depends on the diagnostic capacity of each country and monitoring system. The absence of report of other respiratory viruses does not indicate the absence of their circulation.

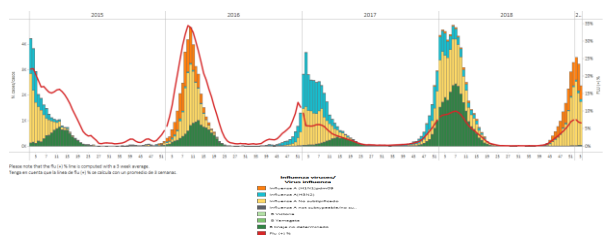
² La detección de otros virus respiratorios diferentes a influenza depende de la capacidad diagnóstica de cada país y del sistema de vigilancia establecido. El que no se reporten otros virus respiratorios, no significa, ni indica la ausencia de circulación viral.

North America / América del Norte

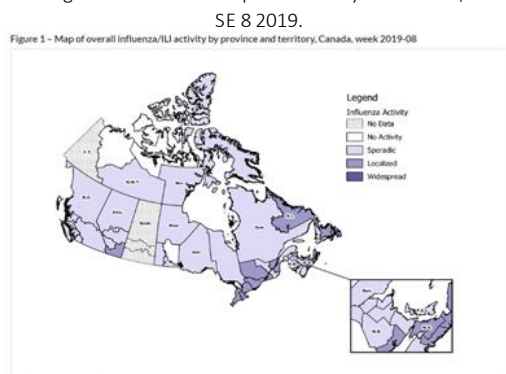
Canada / Canadá

- In EW 8, the percentage of ILI visits at the national level was low compared to previous seasons (Graph 2). During EW 8, influenza continued to circulate at higher levels in the eastern regions and decreased in most western regions. Localized activity was reported by 17 regions: in Alta.(1), Ont.(5), Que.(4), N.S.(3), N.L.(3) and N.B.(1). (Graph 3), and influenza A(H1N1)pdm09 predominated among the influenza detections (Graph 1). RSV positivity slightly decreased, while coronavirus and enterovirus/rhinovirus predominated among the other respiratory viruses (Graph 4). In EW 8, pediatric hospitalizations continued decreasing (Graph 5). A total of 928 pediatric hospitalizations were reported, 98% of all cases associated with influenza A and 69% among the children under 5 years-of-age. To date, EW 8, 159 pediatric ICU admissions were reported, 101 (63%) among children under 5 years of age. Number of pediatric deaths (10) remained the same since EW 3; all of them have been associated with influenza A. The elderly continues to be the most affected among influenza-associated adult hospitalizations. The most common reported comorbidity among adults was endocrine disorders. / En la SE 8, el porcentaje de consultas por ETI a nivel nacional fue bajo comparada con las temporadas anteriores (Gráfico 2). Durante la SE 8, la actividad de influenza continuó en niveles elevados en las regiones del este, y disminuyó en la mayoría de las regiones del oeste. En la SE 8, reportaron actividad localizada 17 regiones: Alta.(1), Ont.(5), Que.(4), N.S.(3), N.L.(3) and N.B.(1). (Gráfico 3). Durante la SE 3, las detecciones de influenza disminuyeron (Gráfico 1) y los virus influenza A(H1N1)pdm09 predominaron entre las detecciones de influenza. La positividad de VRS disminuyó ligeramente mientras que el coronavirus y enterovirus/rinovirus, predominaron entre los otros virus respiratorios (Gráfico 4). En la SE 8, las hospitalizaciones pediátricas continuaron disminuyendo (Gráfico 5). Se reportó un total de 928 hospitalizaciones pediátricas, 98% de todos los casos asociados con la influenza A y el 69% ocurrió en niños menores de 5 años. Hasta la fecha, SE 8, se reportaron 159 admisiones pediátricas a la UCI, 101 (63%) entre los menores de 5 años. El número de muertes pediátricas (10) continuó igual desde la SE 3; todas ellas estuvieron asociadas con influenza A. Los adultos mayores siguen siendo los más afectados entre las hospitalizaciones de adultos asociadas con la influenza. La comorbilidad más reportada en los adultos fueron los trastornos endocrinos.

Graph 1. Canada: Influenza virus distribution by EW, 2015-19, EW 8 /
Distribución de virus de influenza por SE, 2015-19. SE 8

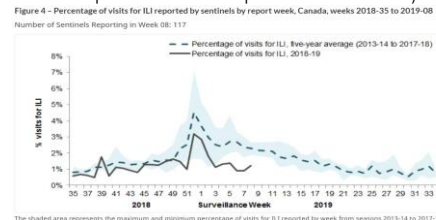


Graph 3. Canada: Influenza activity by provincial and territorial influenza surveillance regions, 2017-2018, EW 8, 2019. Actividad de influenza por regiones de vigilancia de influenza provinciales y territoriales, 2017-2018, SE 8 2019.



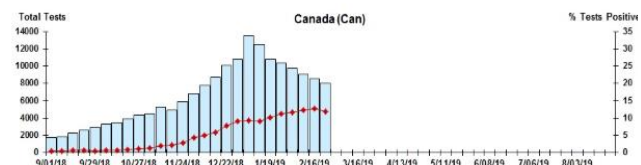
Graph 2. Canada: Percentage of ILI visits by sentinel sites, EW 8, 2019 (in comparison to 2013-2018 seasons)

Porcentaje de casos de ETI por sitio centinela , SE 8, 2019 (en comparación con temporadas 2013-2018)

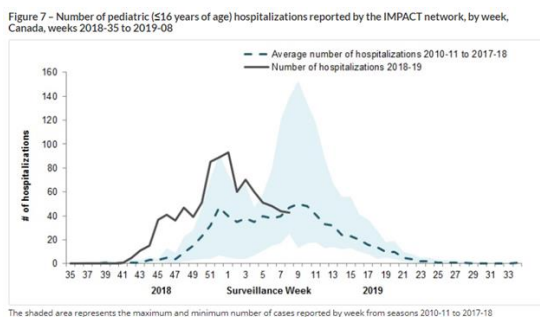


Graph 4. Canada: RSV distribution by EW, EW 8, 2019. /
Distribución de VSR por SE, SE 8, 2019.

Figure 3: Positive Respiratory syncytial virus (RSV) Tests (%) in Canada by Region by Week o



Graph 5. Canada: Number of pediatric hospitalizations (≤ 16 years old) by EW, EW 35, 2018 to EW 8, 2019. / Número de hospitalizaciones pediátricas (≤ 16 años) por SE, SE 35 2018 a SE 8, 2019

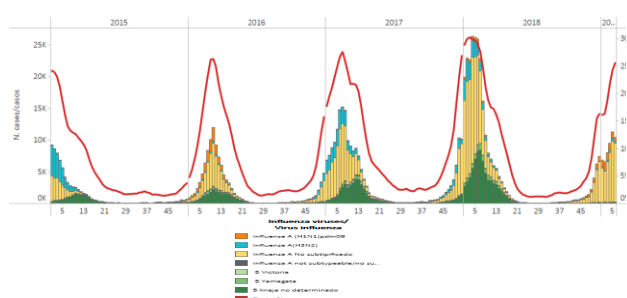


*To view more epi data, view [here](#). / Para ver más datos epi, vea [aqui](#).

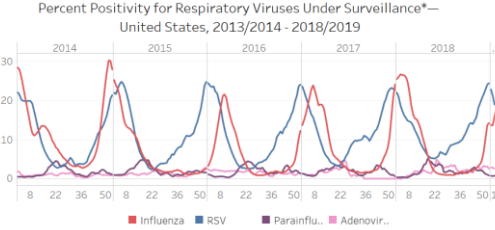
United States / Estados Unidos

- In EW 8, ILI activity at the national level remained at 5%, above the national baseline. All 10 regions reported ILI at or above their region-specific baseline level (Graph 4). New York City and 33 states (Alabama, Alaska, Arizona, Arkansas, Colorado, Georgia, Illinois, Indiana, Kansas, Kentucky, Louisiana, Maryland, Massachusetts, Mississippi, Missouri, Montana, Nebraska, Nevada, New Jersey, New Mexico, New York, North Carolina, North Dakota, Oklahoma, Oregon, Pennsylvania, Rhode Island, South Carolina, Texas, Utah, Virginia, West Virginia, and Wyoming) experienced high ILI activity during EW 8 (Graph 5). Influenza detections slightly increased during EW 5, while RSV activity remained elevated in recent weeks, although the trend is to decrease. Influenza A(H1N1)pdm09 and influenza A(H3N2) co-circulated in recent weeks (Graph 1,2). Fifteen influenza-associated pediatric deaths were reported to CDC during EW 8; 7.1% of the deaths occurred during (week 7) were due to pneumonia and influenza. This percentage was below the epidemic threshold of 7.3% for EW 7. (Graph 3). The highest rate of hospitalization was among adults aged ≥ 65 (91.5 per 100,000 population), followed by children aged 0-4 (45.5 per 100,000 population) (Graph 6). / En la SE 8, la actividad de ETI a nivel nacional permaneció en 5% sobre la línea basal nacional. Todas las 10 regiones reportaron casos de ETI en o sobre la línea de base específica para cada región (Gráfico 4). La ciudad de Nueva York y 33 estados (Alabama, Alaska, Arizona, Arkansas, Colorado, Georgia, Illinois, Indiana, Kansas, Kentucky, Luisiana, Maryland, Massachusetts, Mississippi, Missouri, Montana, Nebraska, Nevada, Nueva Jersey, Nuevo México, Nueva York, Carolina del Norte, Dakota del Norte, Oklahoma, Oregón, Pensilvania, Rhode Island, Carolina del Sur, Texas, Utah, Virginia, Virginia del Oeste, y Wyoming) presentaron una alta actividad de ETI (Gráfico 5). Las detecciones de influenza aumentaron ligeramente durante la SE 5, en tanto la actividad de VRS permaneció elevada en semanas recientes, aunque con tendencia a disminuir. Influenza A(H1N1)pdm09 e influenza A(H3N2) circularon simultáneamente en las últimas semanas (Gráfico 1,2). A los CDC se reportaron 15 muertes pediátricas asociadas a influenza durante la SE 8; 7.1% de las muertes que ocurrieron en la SE 7 fueron por neumonía e influenza. Este porcentaje estuvo por debajo del umbral epidémico de 7.3% para la SE 7. (Gráfica 3). La tasa más alta de hospitalización se presentó en los adultos ≥ 65 años 91,5 x 100.000 hab.), seguida por la de los niños de 0-4 años (45,5 x 100.000 hab.) (Gráfica 6).

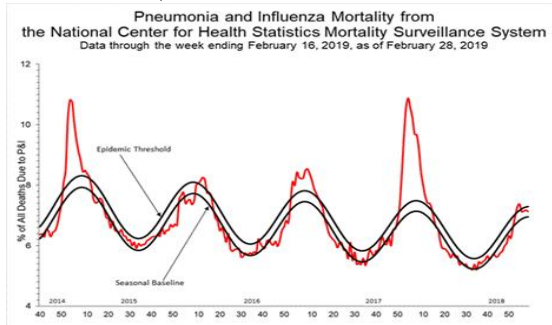
Graph 1. US: Influenza virus distribution by EW 6, 2015-19
Distribución de virus de influenza por SE 6, 2015-19



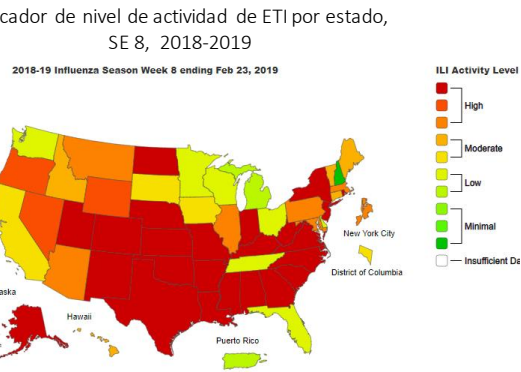
Graph 2. US: Percent positivity for respiratory virus EW 5
Porcentaje de positividad para virus respiratorios, por SE 5, 2013/14- 2018/19



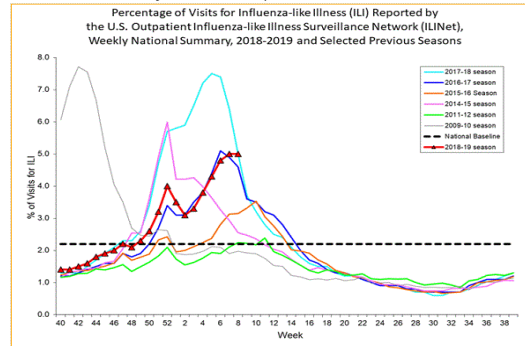
Graph 3. US: Pneumonia and influenza mortality. EW 8, 2019
Mortalidad por neumonía e influenza. SE 8, 2019



Graph 5. US: ILI activity level indicator determined by state, EW 8, 2018-2019
Indicador de nivel de actividad de ETI por estado, SE 8, 2018-2019

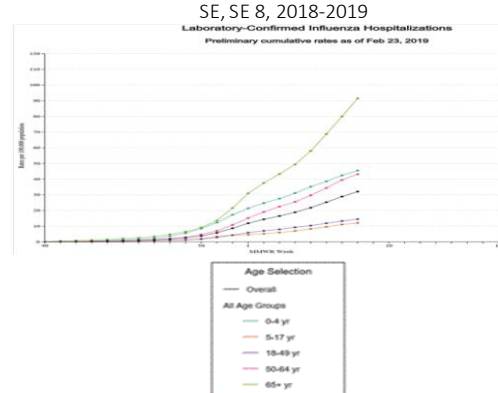


Graph 4. US: Percentage of visits for ILI, 2018-2019. EW 8
Porcentaje de visitas por ETI, 2018-2019. SE 8



Graph 6. US: Laboratory-confirmed influenza hospitalizations rates (per 100000 population) by age group and W, EW 8, 2018-2019

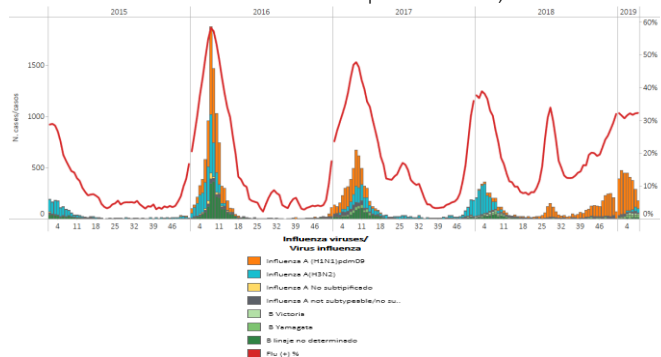
Tasas de hospitalizaciones (por 100.000 habitantes) por influenza confirmada por el laboratorio, por grupo de edad y SE, SE 8, 2018-2019



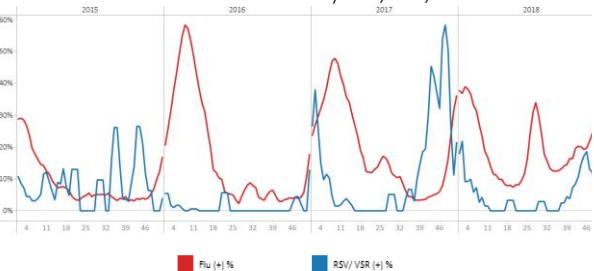
Mexico

- During EW 8, influenza activity continued elevated with influenza A(H1N1)pdm09 predominating, followed by influenza B. RSV activity continue decreasing during last weeks (Graphs 1,2). Up to EW 8, influenza-associated SARI/ILI counts decreased compared with previous weeks but remain slightly higher compared with most other seasons (Graph 3); 560 influenza-associated SARI/ILI deaths were reported as compared from previous seasons for the same period (Graph 6). During EW 9, the states with higher cumulative incidence rates among influenza confirmed cases were Tlaxcala (17.8), Baja California Sur (13.4), Aguascalientes (12.9), Zacatecas (11.4) and Hidalgo (8.4). Those with the higher influenza mortality rate were Hidalgo (2.11), Zacatecas (1.57), Tlaxcala (1.47), Baja California Sur (1.41) and Durango (1.08). During EW 9, the states that reported higher influenza-associated SARI/ILI deaths counts than in the previous season for the same period were: Estado de México, Hidalgo, Mexico City, Puebla and Oaxaca (Graph 6). During EW 9, 5319 cumulative influenza-associated SARI/ILI cases were reported, predominating in Mexico City, Estado de México, Oaxaca, Hidalgo and Tlaxcala (Graph 5). / Durante la SE 8, la actividad de influenza continuó elevada con predominio de influenza A(H1N1)pdm09, seguida por influenza B. La actividad de VRS continúa disminuyendo en las últimas semanas (Gráficos 1,2). Hasta la SE 8, los conteos de IRAG/ETI asociados a influenza disminuyeron comparados con las semanas anteriores y permanecieron ligeramente superiores a los niveles observados durante la mayoría de las temporadas anteriores (Gráfico 3); se reportaron 560 casos fallecidos de IRAG/ETI asociados a influenza con relación a las temporadas anteriores para el mismo período (Gráfico 6). En la SE 9, los estados con mayores tasas de incidencia acumulada (por 100.000 hab.) en casos de influenza confirmados fueron Tlaxcala (17,8), Baja California Sur (13,4), Aguascalientes (12,9), Zacatecas (11,4) e Hidalgo (8,4). Los que reportaron mayores tasas de mortalidad fueron: Hidalgo (2,11), Zacatecas (1,57), Tlaxcala (1,47), Baja California Sur (1,41) y Durango (1,08). En la SE 9, los estados que reportaron mayores conteos de IRAG/ETI asociados a influenza en comparación con la temporada previa para el mismo periodo fueron: Estado de México, Hidalgo, Ciudad de México, Puebla and Oaxaca (Gráfico 6). En la SE 9, se reportaron 5.319 casos acumulados de IRAG/ETI asociados a influenza con predominio en la Ciudad de México, Estado de México, Oaxaca, Hidalgo y Tlaxcala (Gráfico 5).

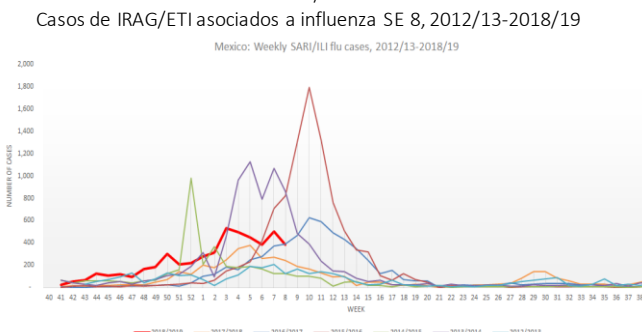
Graph 1. Mexico: Influenza virus distribution by EW 2015-19, EW 8
Distribución de virus influenza por SE 2015-19, SE 8



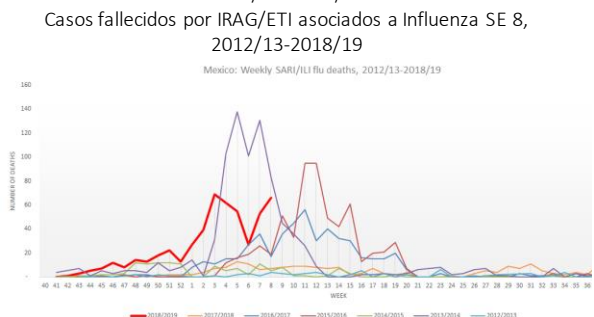
Graph 2. Mexico: Influenza and RSV distribution, EW 8, 2015-19
Distribución de virus influenza y VRS, SE 8, 2015-19



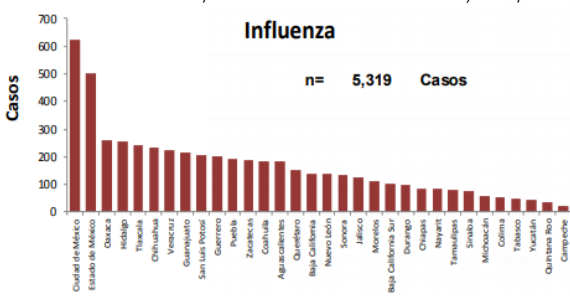
Graph 3. Mexico: Influenza-associated SARI/ILI cases EW 8, 2012/13-2018/19
Casos de IRAG/ETI asociados a influenza SE 8, 2012/13-2018/19



Graph 4. Mexico: Influenza-associated SARI/ILI deaths EW 8, 2012/13-2018/19
Casos fallecidos por IRAG/ETI asociados a Influenza SE 8, 2012/13-2018/19

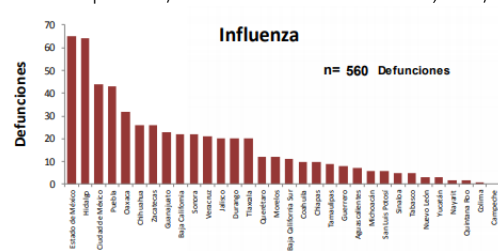


Graph 5. Mexico: SARI/ILI-influenza cases EW 9, 2018/19
Casos de IRAG/ETI asociados a influenza SE 9, 2018/19



*To view more epi data, view [here](#). / Para ver más datos epi, vea [aquí](#).

Graph 6. Mexico: SARI/ILI-influenza deaths EW 9, 2018/19
Casos fallecidos por IRAG/ETI asociados a Influenza SE 9, 2018/19

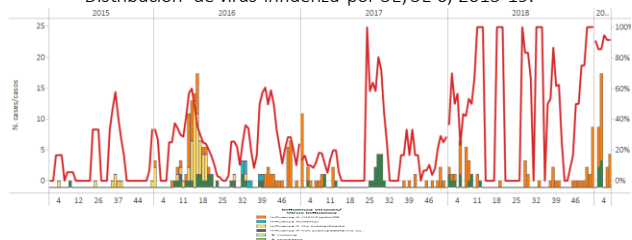


Aruba

- During EW 6, influenza detections continued in the same level compared with previous weeks in 2019 and influenza A(H1N1)pdm09 activity predominated (Graph 1) with increased SARI activity in recent weeks (Graph 3). The proportion of RSV positive samples remained lower compared with the proportion of influenza samples in EW 6 (Graph 2). / Durante la SE 6, los niveles de detección de influenza permanecieron iguales comparados con los niveles de las semanas previas en 2019 e influenza A(H1N1)pdm09 predominó (Gráfico 1) con una actividad de IRAG aumentada en las últimas semanas (Gráfico 3). La proporción de muestras positivas para VRS permanece baja comparada con la proporción de muestras para influenza en la SE 6 (Gráfico 2).

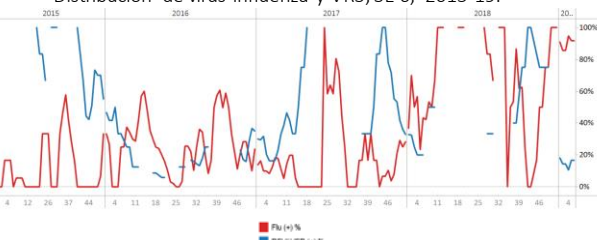
Graph 1. Aruba. Influenza virus distribution EW, EW 6, 2015-19.

Distribución de virus influenza por SE, SE 6, 2015-19.



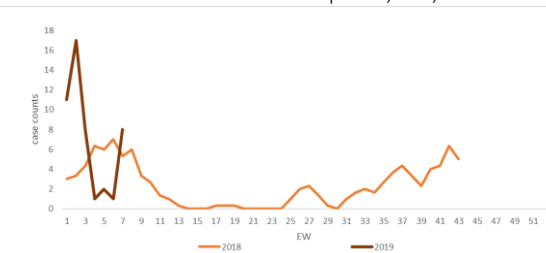
Graph 2. Aruba. Influenza and RSV distribution, EW 6, 2015-19.

Distribución de virus influenza y VRS, SE 6, 2015-19.



Graph 3. Aruba: Number of SARI cases with samples by EW, EW 8, 2018-2019,

Número de casos IRAG con muestra por SE, SE 8, 2018-2019

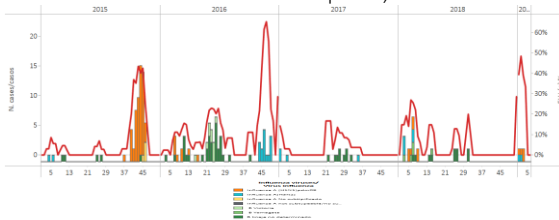


Barbados

- From EW 3 to EW 6, 2019; no influenza detections were reported, and influenza A (H1N1)pdm09 circulated in previous weeks (Graph 1, 2). As of EW 6, 2019, no detections of RSV were reported (Graph 2). As of EW 8, the decreased SARI activity was below the levels observed in the 2013-2018 seasons for the same period (Graph 3). / Desde la SE 3 a la SE 6, no se reportaron detecciones de influenza, e influenza A (H1N1)pdm09 circuló en semanas previas (Gráfico 1, 2). Hasta la SE 6, 2019, no se reportaron detecciones de VRS (Gráfico 2). Hasta la SE 8, la actividad de IRAG disminuyó y se ubicó por debajo de los niveles observados en las temporadas 2013-2018 para el mismo período (Gráfico 3).

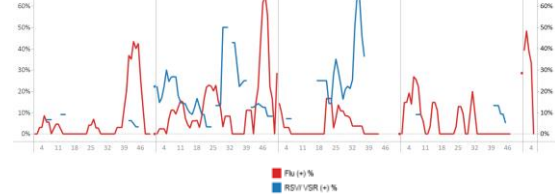
Graph 1. Barbados. Influenza virus distribution EW, EW 6, 2015-19.

Distribución de virus influenza por SE, SE 6 2015-19.



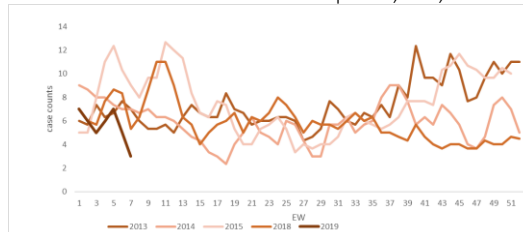
Graph 2. Barbados. Influenza and RSV distribution, EW 6, 2015-19.

Distribución de virus influenza y VSR, SE 6, 2015-19.



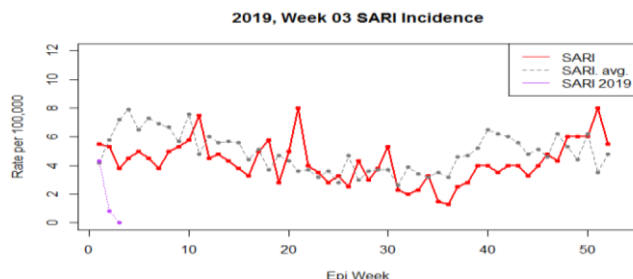
Graph 3. Barbados: Number of SARI cases with samples by EW, EW 8, 2013-19

Número de casos IRAG con muestra por SE, SE 8, 2013-19

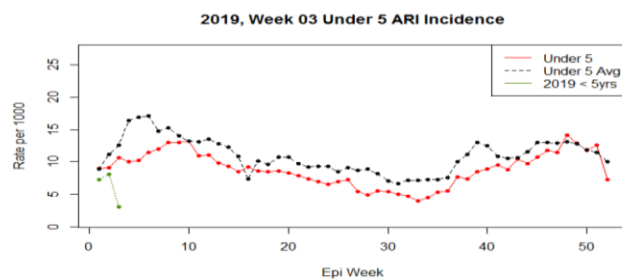


- During EW 3, decreased SARI activity was reported (Graph 1), as compared to the previous five seasons' average. In EW 3, the ARI incidence rate among <5 years of age children was lower than the previous seasons for the same period (Graph 2). In EW 8, influenza activity decreased with influenza A and influenza B circulating during the previous weeks (Graph 3). / Durante la SE 3, se reportó un descenso en la actividad de IRAG (Gráfico 1), en comparación con el promedio de las cinco temporadas previas. En la SE 3, la incidencia de IRA entre los niños <5 años fue menor que en las temporadas previas para el mismo período (Gráfico 2). En la SE 8, la detección de influenza disminuyó comparada con semanas previas, con la circulación de influenza A e influenza B en las últimas semanas (Gráfico 3).

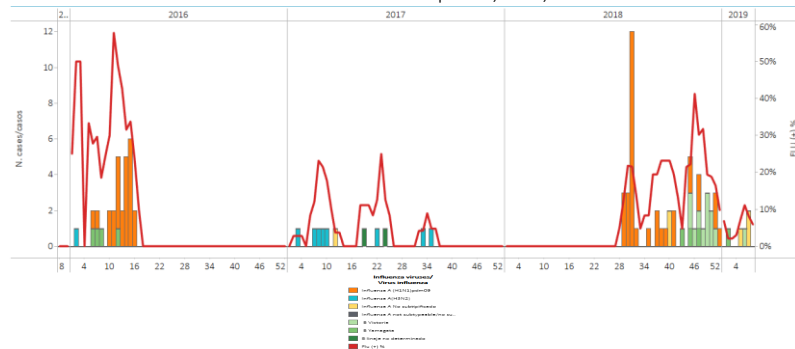
Graph 1. Belize: SARI incidence rate per 100,000, EW 3, 2019
Tasa de incidencia de IRAG por 100.000, SE 3, 2019



Graph 2. Belize: ARI incidence rate per 100,000, <5 years old, EW 3, 2019
Tasa de incidencia de IRA por 100.000, <5 años de edad, SE 3, 2019



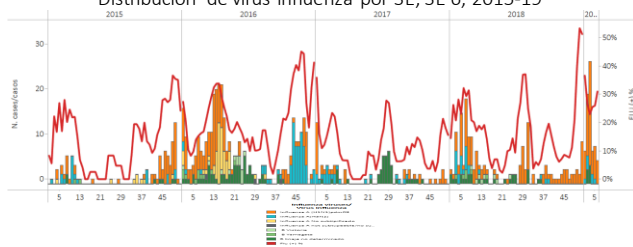
Graph 3. Belize. Influenza virus distribution EW, EW 8, 2016-19
Distribución de virus influenza por SE, SE 8 , 2016-19



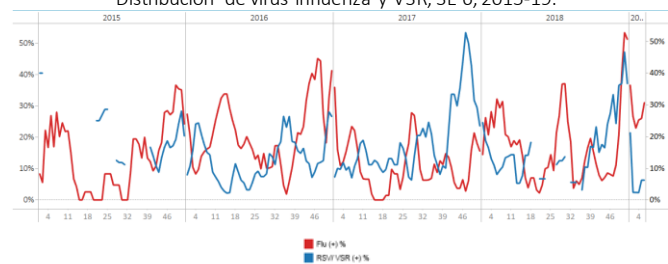
CARPHA

- During EW 6, 2019, increased influenza detections were reported with influenza A(H1N1)pdm09 circulating (Graph 1). The proportion of influenza positive samples and the proportion of RSV positive samples increased from previous weeks (Graph 2). / Durante la SE 6, 2019, se reportaron mayores detecciones de influenza con circulación de influenza A(H1N1)pdm09 (Gráfico 1). La proporción de muestras positivas para influenza y la proporción de muestras positivas para VSR aumentaron con relación a las semanas previas (Gráfico 2).

Graph 1. CARPHA. Influenza virus distribution EW, EW 6, 2015-19
Distribución de virus influenza por SE, SE 6, 2015-19



Graph 2. CARPHA. Influenza and RSV distribution, EW 6, 2015-19
Distribución de virus influenza y VSR, SE 6, 2015-19



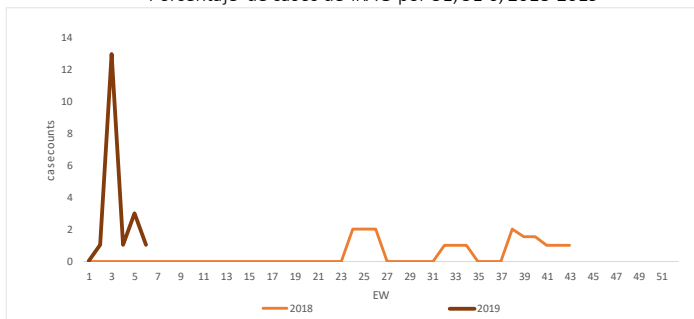
*To view more epi data, view [here](#). / Para ver más datos epi, vea [aquí](#).

Cayman Island / Islas Caimán

- In EW 6, 2019, decreased of percentage of SARI cases was observed compared with SE 3 (Graph 1). / En la SE 6, 2019; se observó una disminución del porcentaje de casos de IRAG comparado con la SE 3 (Gráfico 1).

Graph 1. Cayman Island/ Islas Caimán: Percentage of SARI cases by EW, EW 6, 2018-2019.

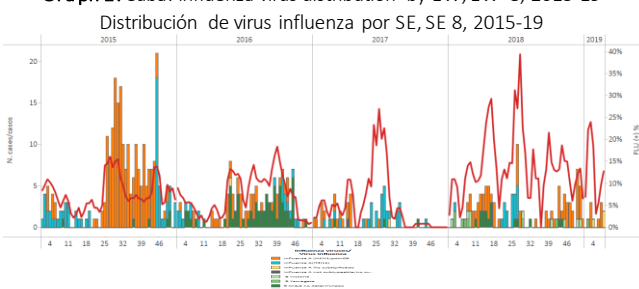
Porcentaje de casos de IRAG por SE, SE 6, 2018-2019



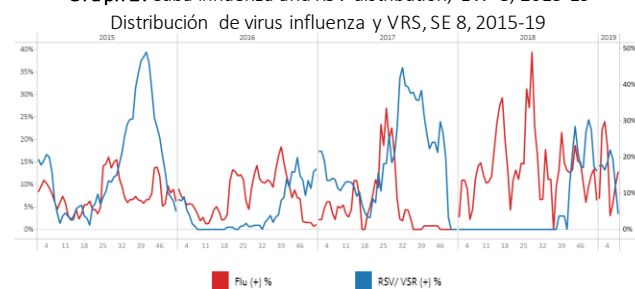
Cuba

- During EW 8, increased influenza activity was reported with influenza A circulating (Graph 1); while RSV circulation continue decreasing since EW 4, 2019 (Graph 2). In EW 8, SARI cases count continued to decrease and remained lower than in previous seasons for the same period, influenza A predominance (Graphs 1, 3). / Durante la SE 8, se reportó mayor actividad de influenza, concirculación de influenza A (Gráfico 1), mientras que la circulación de VRS continuó en descenso desde la SE 4, 2019 (Gráfico 2). En la SE 8, el recuento de casos de IRAG continuó en disminución y permanecieron por debajo de los niveles de temporadas previas para el mismo período, con predominio de influenza A (Gráficos 1, 3).

Graph 1. Cuba: Influenza virus distribution by EW, EW 8, 2015-19

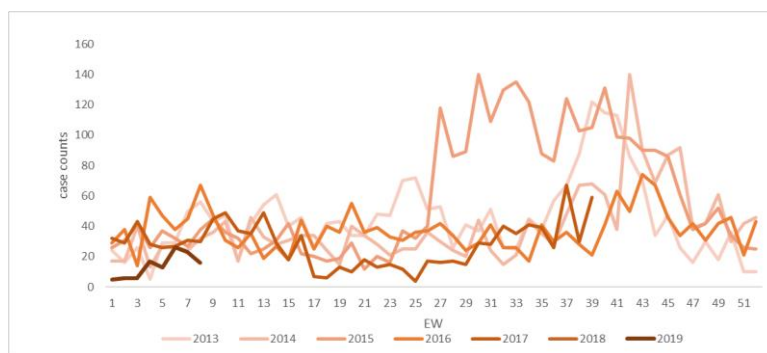


Graph 2. Cuba Influenza and RSV distribution, EW 8, 2015-19



Graph 3. Cuba: Number of SARI cases with samples by EW, EW 8, 2013-2019

Número de casos de IRAG con muestras, por SE, SE 8, 2013-2019



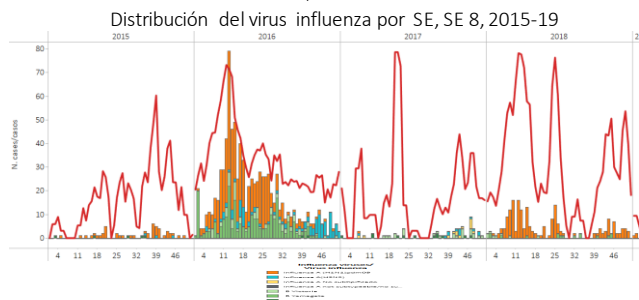
*To view more epi data, view [here](#). / Para ver más datos epi, vea [aquí](#).

Dominican Republic / República Dominicana

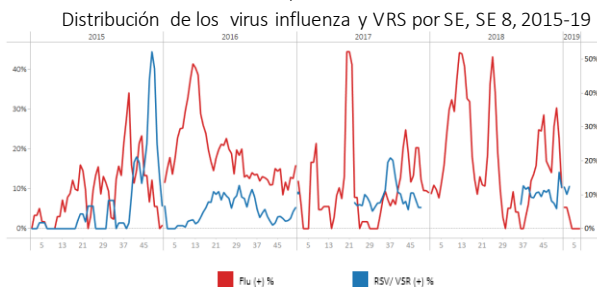
- From EW 3 to EW 8, no influenza activity has been reported, with influenza A(H1N1)pdm09 circulating in previous weeks (Graph 1). No RSV detections have been reported in recent weeks (Graph 2). Influenza positivity continued below the alert threshold and the average epidemic curve (Graph 3). During EW 7, the number of SARI cases decreased from previous weeks (Graph 4), with a similar proportion of influenza and RSV positive samples. The SARI and influenza-

associated SARI cases predominated among the <5 years old. / Desde la SE 3 a la SE 8, no se ha reportado actividad de influenza, con circulación de influenza A(H1N1)pdm09 en semanas previas (Gráfico 1). No se han reportado detecciones de VRS en las últimas semanas (Gráfico 2). La positividad para influenza permaneció por debajo de los umbrales de alerta y epidémico (Gráfico 3). Durante la SE 7, el número de casos de IRAG disminuyó con relación a las semanas previas (Gráfico 4), con una proporción similar de muestras positivas para influenza y VSR. Los casos de IRAG y los casos de IRAG asociados a influenza predominaron en los <5 años.

Graph 1. Dominican Republic: Influenza virus distribution by EW, EW 8, 2015-19

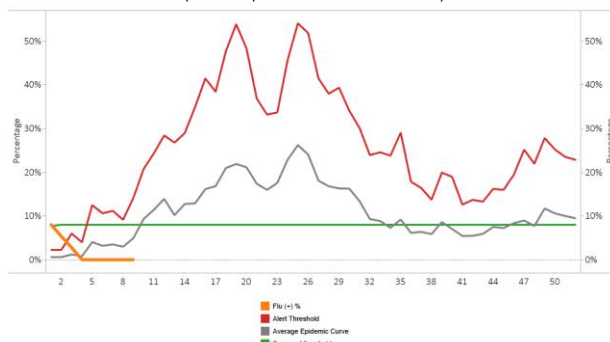


Graph 2. Dominican Republic Influenza and RSV distribution by EW, EW 8, 2015-19



Graph 3. Dominican Republic: Percent positivity for influenza, EW 8, 2019 (in comparision to 2010-2018)

Porcentaje de positividad de influenza, SE 8, 2019 (en comparación a 2010-2018)



The averaging methodology to determine the alert threshold and epidemic curve references the methodology in the WHO Global Epidemiological Surveillance Standards for Influenza (2014). The influenza percent positivity is calculated using the 3-week averaging method.

Graph 4. Dominican Republic: Number of SARI cases that were sampled, by EW, EW 7, 2018-19

Número de casos de IRAG con muestra by EW, EW 7, 2018-19

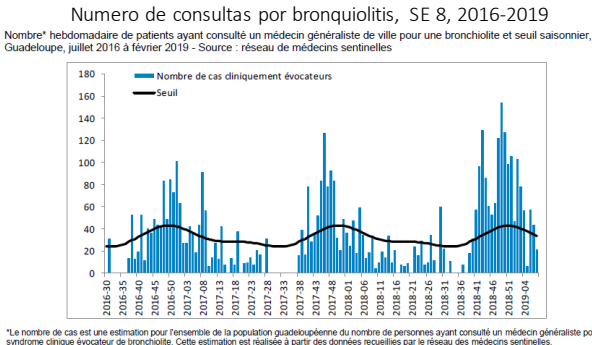


*To view more epi data, view [here](#). / Para ver más datos epi, vea [aquí](#).

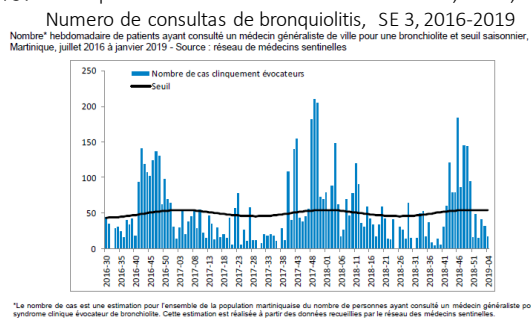
French Territories / Territorios Franceses

- During EW 8, 2019, bronchiolitis consultations decreased below the levels observed during 2016-18 seasons for the same period in Guadeloupe, after a peak in EW 43 (Graph 1). In EW 8, ILI case counts remained at similar levels as observed in recent weeks (1,000 cases) (Graph 2). As of EW 8, in Martinique, ILI activity have increased during last five weeks (Graph 4). In Saint- Barthélemy, the number of ILI reported in EW 7 is low and returns to below the seasonal threshold; likewise, bronchiolitis consultations decreased since EW 3 to 1-3 consultations per week (Graphs 5, 6). During EW 7, in Saint-Martin, ILI activity increased in recent weeks (Graph 7). / Durante la SE 8 de 2019, las consultas por bronquiolitis disminuyeron por debajo de los niveles observados durante las temporadas 2016-18 para el período en Guadalupe, luego de un pico en la SE 43 (Gráfico 1). En la SE 8, el recuento de casos de ETI permaneció a niveles similares a los observados en semanas previas (1.000 casos) (Grafico 2). En la SE 8, en Martinica, la actividad de las ETI aumentó en las últimas cinco semanas (Gráfico 4). En San Bartolomé, el número de casos de ETI reportados en la SE 7 fue bajo y regresó a niveles por debajo del umbral estacional; de igual forma, las consultas por bronquiolitis disminuyeron desde la SE 3, a 1-3 consultas por semana (Gráficos 5, 6). Durante la SE 7, en San Martín, la actividad de ETI aumentó en las recientes semanas (Gráfico 7).

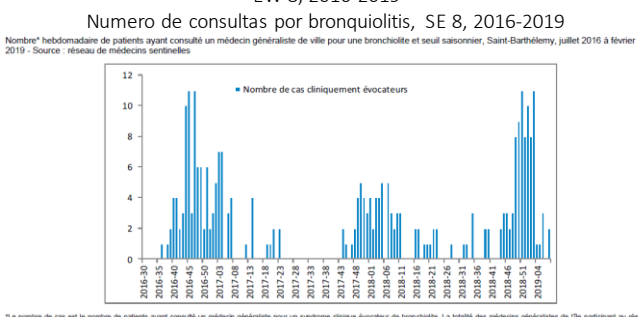
Graph 1. Guadeloupe: Number of bronchiolitis consultations, EW 8, 2016-2019



Graph 3. Martinique: Number of bronchiolitis consultations, EW 3, 2016-2019



Graph 5. Saint-Barthélemy: Number of bronchiolitis consultations, EW 8, 2016-2019



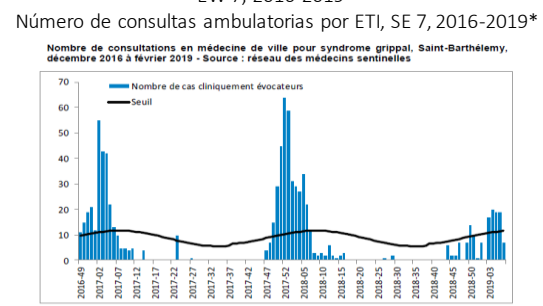
Graph 2. Guadeloupe: Number of ambulatory consultations for ILI, EW 7, 2016-2019



Graph 4. Martinique: Number of ambulatory consultations for ILI, EW 7, 2016-2019



Graph 6. Saint-Barthélemy: Number of ambulatory consultations for ILI, EW 7, 2016-2019*



* Note however, that data is incomplete, some general practitioners who could not be contacted

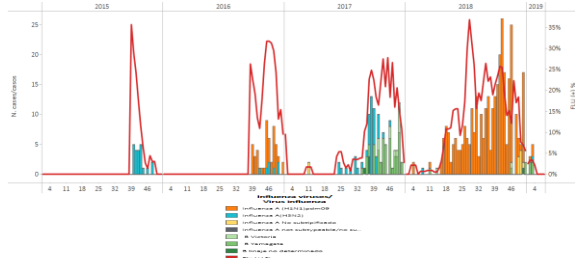
Graph 7. Saint-Martin: Number of ambulatory consultations for ILI, EW 7, 2016-2019



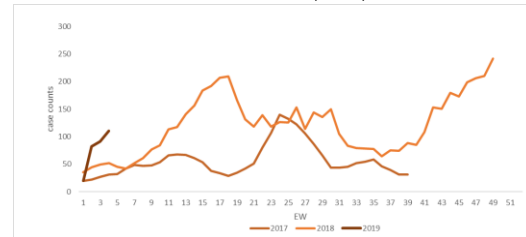
Haiti

- During EW 8, and in recent weeks, no influenza activity was reported (Graph 1). As of EW 5, the number of SARI hospitalizations increased from previous weeks; and was higher than the levels observed in 2018 for the same period (Graph 2), with most of the cases among the <5 years old infants. / Durante la SE 8 y en semanas previas, no se reportó actividad de influenza (Gráfico 1). Hasta la SE 5, el número de hospitalizaciones por IRAG aumentó respecto a semanas previas; siendo superior a los niveles observados en 2018 para el mismo período (Gráfico 2); con la mayoría de los casos reportaron entre los niños <5 años.

Graph 1. Haiti: Influenza virus distribution EW, 2015-19. EW 8
Distribución de virus influenza por SE, 2015-19. SE 8



Graph 2. Haiti: Number of SARI cases, EW 8, 2017-2019
Número de casos de IRAG, SE 8, 2017-2019

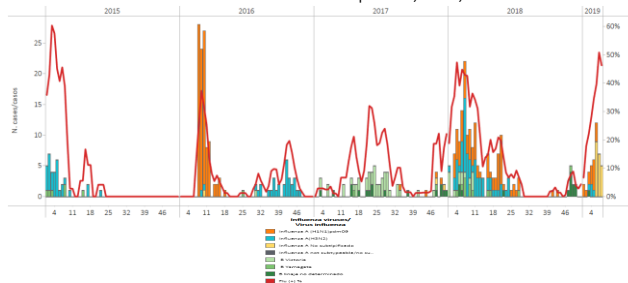


*To view more epi data, view [here](#). / Para ver más datos epi, vea [aquí](#).

Jamaica

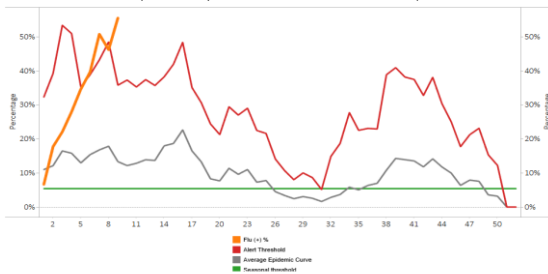
- During EW 8, influenza detections slightly decreased as compared with previous weeks, with influenza A circulating (Graph 1) and remained above the alert threshold (Graph 3). RSV activity decreased, from the previous weeks (Graph 2). The number of SARI hospitalizations slightly increased and was lower than most of the seasons for the same period (Graph 4). ARI case counts were similar from previous weeks and lower than the previous seasons (Graph 5). / Durante la SE 8, las detecciones de influenza disminuyeron ligeramente en comparación con las semanas previas, con circulación de influenza A (Gráfico 1) y permaneció sobre el umbral de alerta (Gráfico 3). La actividad del VRS disminuyó en comparación con las semanas previas (Gráfico 2). El recuento de hospitalizaciones por IRAG aumentó ligeramente y fue menor que en la mayoría de las temporadas para el mismo período (Gráfico 4). Los recuentos de casos de IRA fueron similares a los de la semana previa y menores que en las temporadas anteriores (Gráfico 5).

Graph 1. Jamaica: Influenza virus distribution by EW, EW 8, 2015-19
Distribución de virus influenza por SE, SE 8, 2015-19



Graph 3. Jamaica: Percent positivity for influenza, EW 8, 2019
(in comparison to 2010-2018)

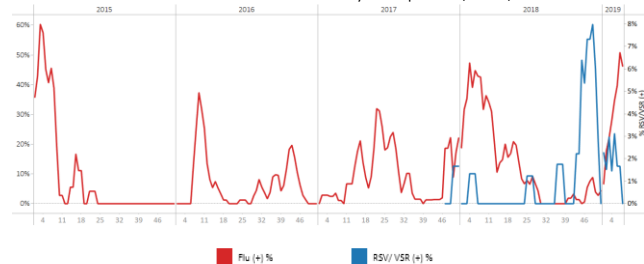
Porcentaje de positividad de influenza, SE 8, 2019
(en comparación con 2010-2018)



The averaging methodology to determine the alert threshold and epidemic curve references the methodology in the WHO Global Epidemiological Surveillance Standards for Influenza (2014). The influenza percent positivity is calculated using the 3-week averaging method.

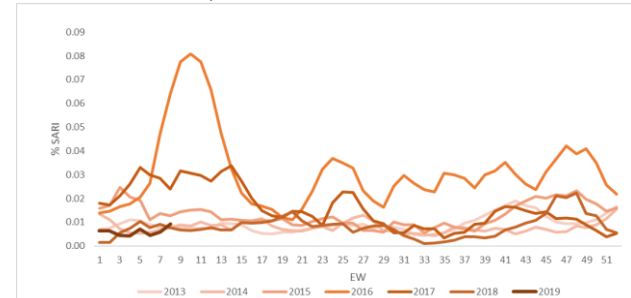
Graph 2. Jamaica: Influenza and RSV virus distribution by EW,
EW 8, 2015-19

Distribución de los virus influenza y VRS por SE, SE 8, 2015-19

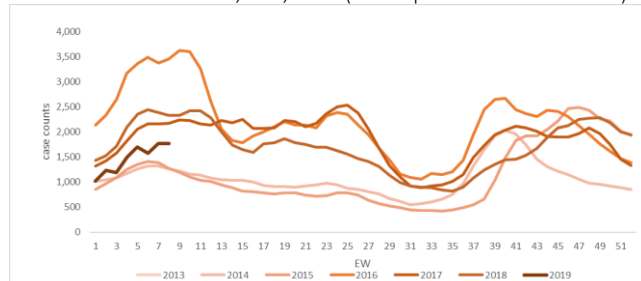


Graph 4. Jamaica: Number of SARI hospitalizations among total
hospitalizations, EW 8, 2015-2019

Número de hospitalizaciones por IRAG entre el total de
hospitalizaciones, SE 8, 2015-2019



Graph 5. Jamaica: Number of ARI cases, EW 8, 2019 (compared to 2014-2018)
Número de casos de IRA, SE 8, 2019 (en comparación con 2014-2018)

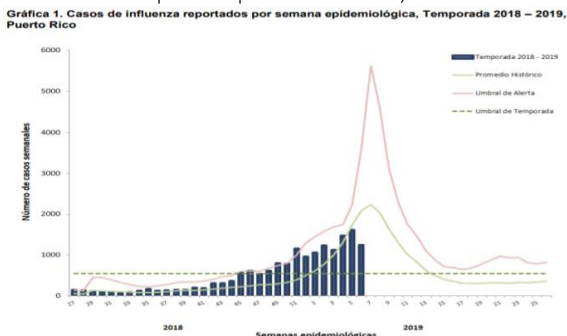


*To view more epi data, view [here](#). / Para ver más datos epi, vea [aquí](#).

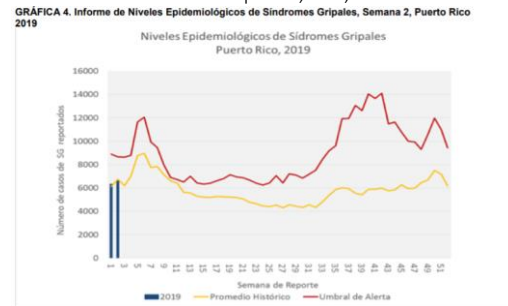
Puerto Rico

- During EW 7, decreased influenza cases detected remained above the seasonal threshold (Graph 1). During EW 3, no ILI activity was reported, and it remained below the average epidemic curve up to EW 21, 2018 (Graph 2). / Durante la SE 7, disminuyó el número de casos de influenza detectados y permanecen por encima del umbral estacional (Gráfico 1). Durante la SE 7, no se reportó actividad de ETI y la misma permaneció por debajo de la curva epidémica media hasta la SE 21 de 2018 (Gráfico 2).

Graph 1. Puerto Rico: Influenza-positive cases by EW 7, 2018-19
Casos positivos para influenza SE 7, 2018-19



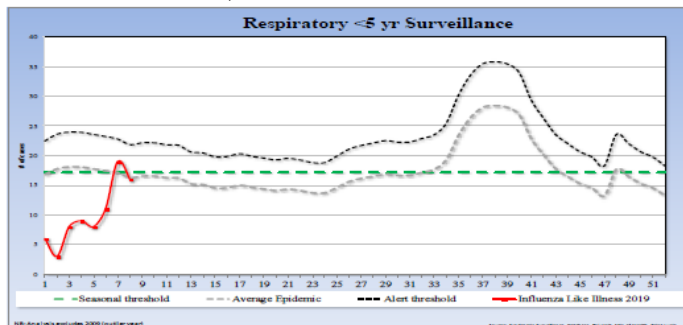
Graph 2. Puerto Rico: ILI epidemic rates by EW 2, 2019
Tasas de ETI por SE, SE 2, 2019



Saint Lucia

- During EW 8, the number of cases with respiratory symptoms among children under 5 years of age decreased below the seasonal threshold (Graph 1). To date, the age group most affected is the 1-4-year age group which accounts for 36.8% of all SARI admissions. / Durante la SE 8, el número de casos con síntomas respiratorios en niños menores de 5 años disminuyó por debajo del umbral estacional (Gráfico 1). Hasta la fecha, el grupo más afectado es el de 1-4 años que contribuyó con el 36,8% de las admisiones por IRAG. 5

Graph 1. Saint Lucia: ILI cases distribution by EW among the < 5 years of age, EW 8, 2014-19
Distribución de ETI por SE entre los <5 años de edad, SE 8, 2014-19

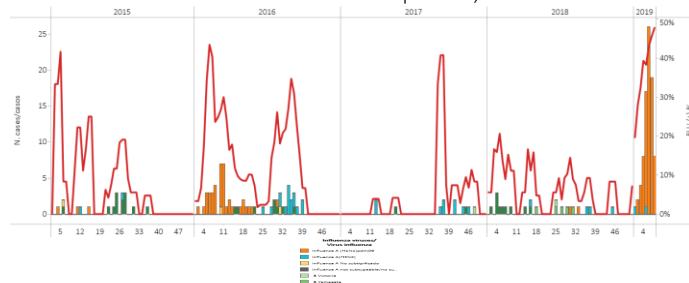


*To view more epi data, view [here](#). / Para ver más datos epi, vea [aquí](#).

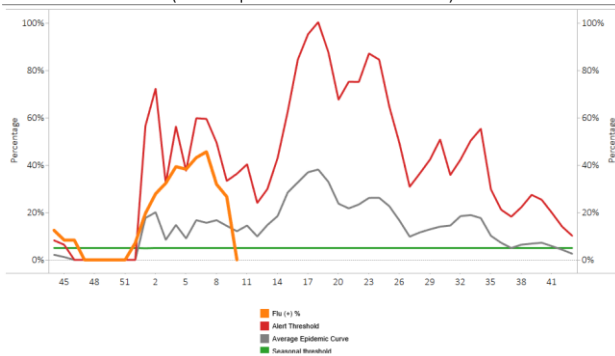
Suriname

- In EW 8, ILI case counts decreased with low activity reported in the last month; SARI-related hospitalizations decreased and remained higher than levels observed in previous seasons for the same period (Graphs 4,5). During EW 8, 2019; influenza activity continued to increase and was below the alert threshold, with influenza A(H1N1)pdm09 predominating (Graphs 1,3); , no RSV activity was reported (Graph 2). / En la SE 8, el recuento de casos de ETI disminuyó, con baja actividad en el último mes; las hospitalizaciones por IRAG disminuyeron y permanecieron superiores a los niveles observados en las temporadas previas para el mismo período (Gráficos 4,5). En la SE 8, la actividad de influenza continuó elevada y por debajo del umbral de alerta, con predominio de influenza A(H1N1)pdm09 (Gráficos 1,3); no se reportó actividad del VRS (Gráfico 2).

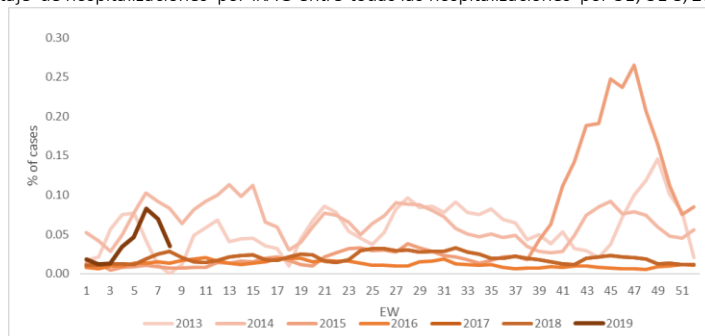
Graph 1. Suriname: Influenza virus distribution by EW 8, 2015-19
Distribución de virus influenza por SE 8, 2015-19



Graph 3. Suriname: Percent positivity for influenza, EW 8, 2019
(in comparision to 2010-2018)
Porcentaje de positividad de influenza, SE 8, 2019
(en comparación con 2010-2018)



Graph 5. Suriname: Percentage of SARI hospitalizations per total hospitalizations, by EW; EW 8, 2013-2019
Porcentaje de hospitalizaciones por IRAG entre todas las hospitalizaciones por SE; SE 8, 2013-2019

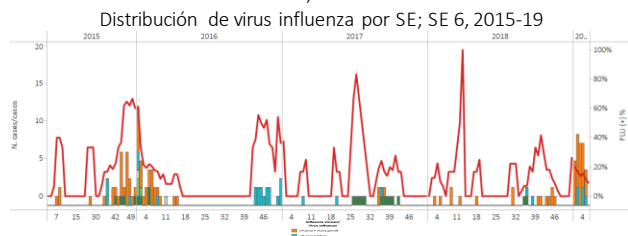


*To view more epi data, view [here](#). / Para ver más datos epi, vea [aquí](#).

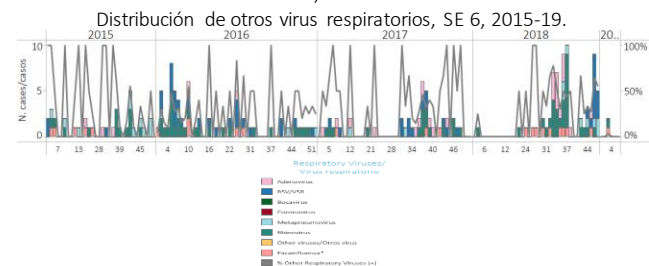
Trinidad & Tobago

- During EW 6, decreased influenza detections were reported, with influenza A(H1N1)pdm09 predominating in previous weeks (Graph 1). Adenovirus and parainfluenza viruses circulated in recent weeks, and there were no RSV detections reported (Graph 2). As of EW 45, SARI activity decreased from the previous week (Graph 3). / Durante la SE 6, se reportaron menores detecciones de influenza, con predominio de influenza A(H1N1)pdm09 en semanas previas (Gráfico 1). Adenovirus y parainfluenza circularon en semanas recientes y no se reportaron detecciones de VRS (Gráfico 2). Hasta la SE 45, la actividad de IRAG disminuyó en relación con la semana previa (Gráfico 3).

Graph 1. Trinidad & Tobago: Influenza virus distribution by EW, EW 6, 2015-19
Distribución de virus influenza por SE; SE 6, 2015-19



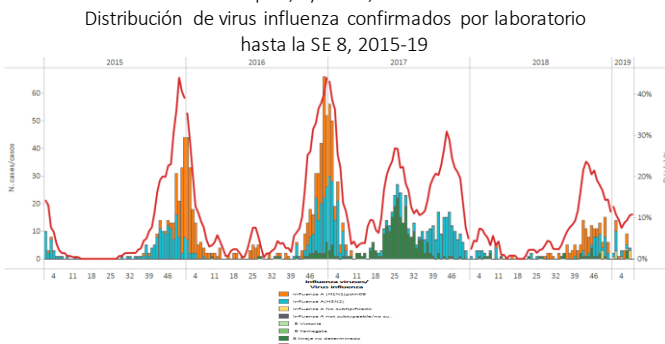
Graph 2. Trinidad & Tobago. Other respiratory virus distribution, EW 6, 2015-19
Distribución de otros virus respiratorios, SE 6, 2015-19



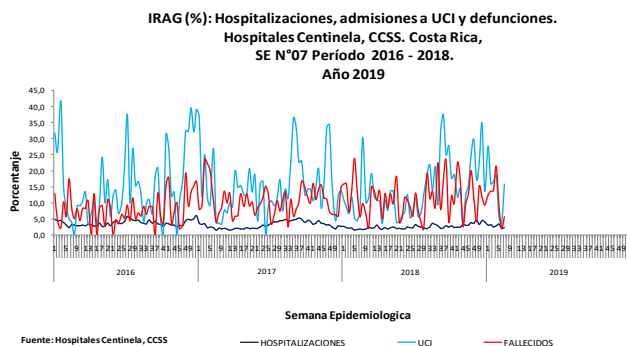
Costa Rica

- During EW 8, influenza activity continued to increase from the previous week, with influenza A circulating (Graph 1). Likewise, RSV activity increased as compared to the 2018 season (Graph 1,2). In EW 8, the percentage of SARI deaths (2%) and the cases with ICU admissions (12.5%) decreased as compared with EW 6 and 7, and SARI hospitalizations (2.5%) were lower as compared to the previous weeks with the < 2 years and the ≥ 65 years' age groups the most affected (Graph 3). The percentage of positivity for influenza was above the alert threshold (Graph 4) / Durante la SE 8, la actividad de influenza continuó en aumento con relación a las semanas previas, con predominio de influenza A (Gráfico 1). Así mismo, la actividad de VRS aumentó comparada con la temporada 2018 (Gráficos 1,2). En la SE 8, el porcentaje de fallecidos por IRAG (2%) y el de casos con admisión a UCI (12,5%) disminuyeron en comparación con las SE 6 y 7, y las hospitalizaciones por IRAG (2,5%) fueron menores en comparación con las semanas previas, los grupos de edad más afectados fueron los <2 años y los ≥ 65 años (Gráfico 3). El porcentaje de positivos para influenza permaneció por encima del umbral de alerta (Gráfico 4).

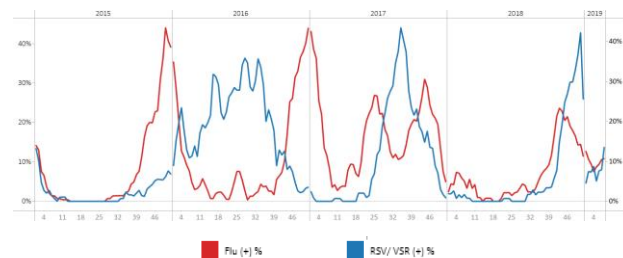
Graph 1. Costa Rica: Influenza virus distribution, Laboratory confirmed samples, by EW 8, 2015-19



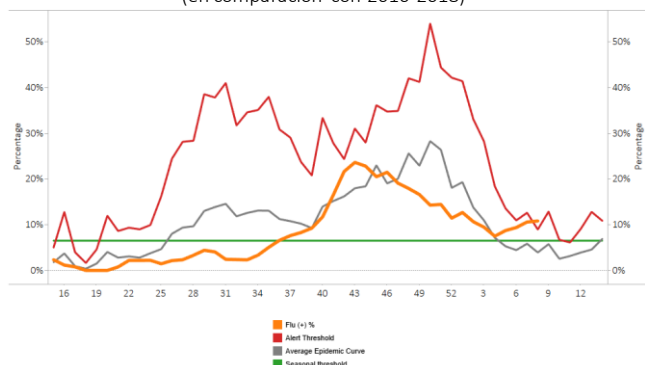
Graph 3. Costa Rica: Proportion of SARI cases, ICU admissions and SARI deaths in reporting sentinel sites by year. Costa Rica, EW 7, 2015-2019
Proporción de casos de IRAG, admisiones a UCI y fallecidos por IRAG en sitios centinela reportado por año. Costa Rica, SE 7, 2015-2019



Graph 2. Costa Rica: Influenza and RSV distribution, EW 8, 2015-19
Distribución de los virus influenza y VRS; SE 8, 2015-19



Graph 4. Costa Rica: Percent positivity for influenza, EW 8, 2019
(in comparison to 2010-2018)
Porcentaje de positividad de influenza, SE 8, 2019
(en comparación con 2010-2018)

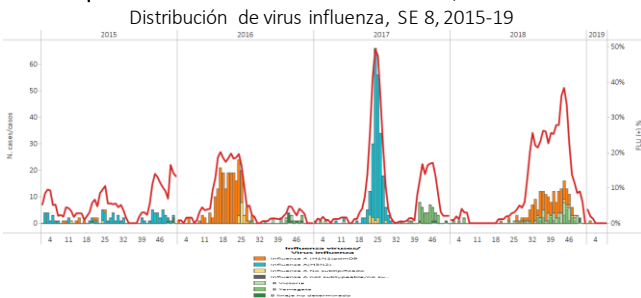


The averaging methodology to determine the alert threshold and epidemic curve references the methodology in the WHO Global Epidemiological Surveillance Standards for Influenza (2014). The influenza percent positivity is calculated using the 3-week averaging method.

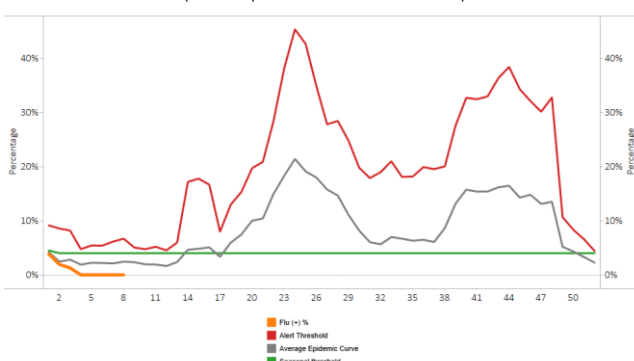
El Salvador

- During EW 8, no influenza activity was reported (Graphs 1,3). Increased RSV detections were reported as compared to previous seasons (Graph 2). The percentage of SARI cases slightly decreased as compared to EW 7 and was over the levels observed in the seasons 2017-18; children < 5 years contributed with 70% of the SARI cases. (Graphs 4,5). Pneumonia case counts (552) decreased from previous weeks and were lower to the levels of the 2017-18 seasons (Graph 5). / En la SE 8, no se reportó actividad de influenza (Gráficos 1,3). Las detecciones de VSR aumentaron con relación a las temporadas previas (Gráfico 2). El porcentaje de casos de IRAG ligeramente disminuyó comparado con la SE 7 y permaneció por encima de los niveles registrados en las temporadas 2017-18; los niños menores de 5 años contribuyeron con el 70% de los casos de IRAG (Gráficos 4,5). Los recuentos de neumonía (552) disminuyeron con relación a las semanas previas, aunque menores que durante la temporada 2017-18 (Gráfico 5).

Graph 1. El Salvador: Influenza virus distribution, EW 8 2015-19

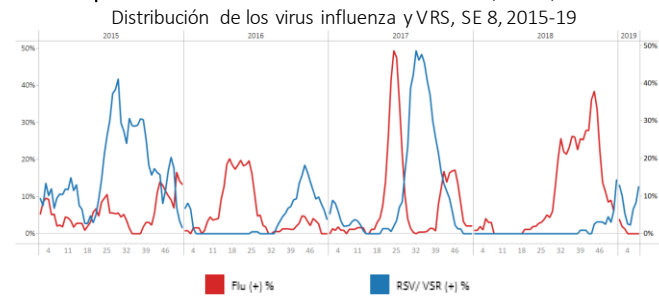


Graph 3. El Salvador: Percent positivity for influenza, EW 8, 2019 (in comparison to 2010-2018)
Porcentaje de positividad de influenza, SE 8, 2019
(en comparación con 2010-2018)

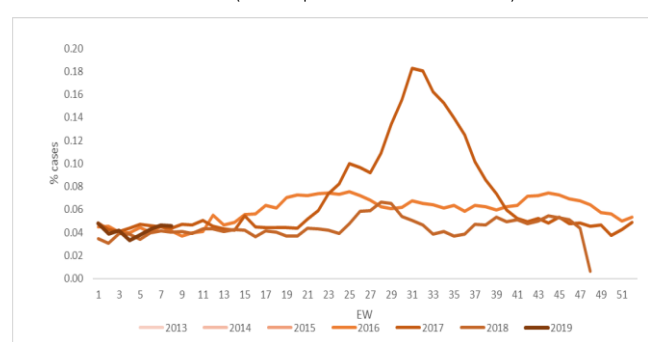


The averaging methodology to determine the alert threshold and epidemic curve references the methodology in the WHO Global Epidemiological Surveillance Standards for Influenza (2014). The influenza percent positivity is calculated using the 3-week averaging method.

Graph 2. El Salvador: Influenza and RSV distribution, EW 8, 2015-19



Graph 4. El Salvador: Percentage of SARI cases out of total hospitalizations, by EW, 2019. EW 8 (in comparison with 2016-2018)
Porcentaje de casos de IRAG de todas las hospitalizaciones por SE; SE 8 2019 (en comparación con 2016-2018)



Graph 5. El Salvador: Number of pneumonia cases by EW; EW 8, 2016-2019
Conteo de casos de neumonía, por SE; SE 8, 2016-2019

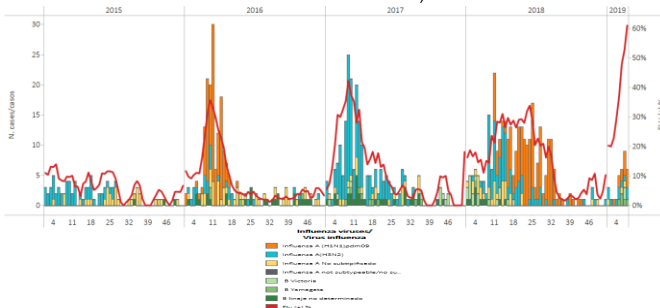


*To view more epi data, view [here](#). / Para ver más datos epi, vea [aquí](#).

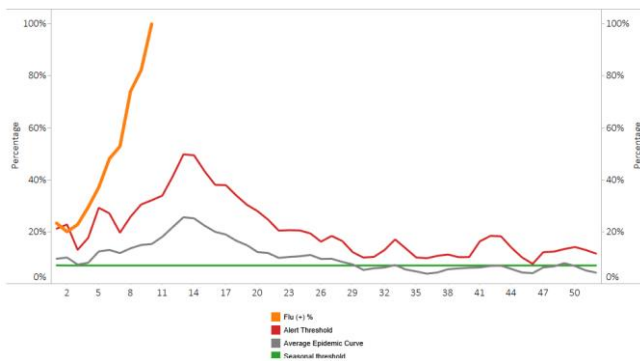
Guatemala

- During EW 8, influenza detections increased with influenza A (H1N1)pdm09, influenza A (H3N2) and influenza B co-circulating (Graph 1). Influenza positivity increased above the alert threshold, as compared to the 2010-18 period (Graph 3); while RSV activity decreased (Graph 2). During EW 8, the percentage of SARI cases among all hospitalizations remained below the level of 2010-8 seasons (Graph 4). Overall, during EW 8, pneumonia and ARI activity increased and remained lower than the levels reported in 2018 (Graphs 5,6). / Durante la SE 8, las detecciones de influenza aumentaron con co-circulación de influenza A (H1N1)pdm09, influenzaA (H3N2), e influenza B (Gráfico 1). La positividad de influenza se incrementó por encima del umbral de alerta en comparación con el período 2010-2018 (Gráfico 3); mientras que la actividad de VRS disminuyó (Gráfico 2). En la SE 8 el porcentaje de casos de IRAG del total de hospitalizaciones permaneció por debajo del nivel de las temporadas 2010-2018 (Gráfico 4). En general, durante la SE 8, el reporte de neumonías e IRA aumentó y permaneció bajo los niveles reportados en la temporada de 2018 (Gráfico 5,6).

Graph 1. Guatemala: Influenza virus distribution EW 8, 2015-19
Distribución de influenza SE 8, 2015-19

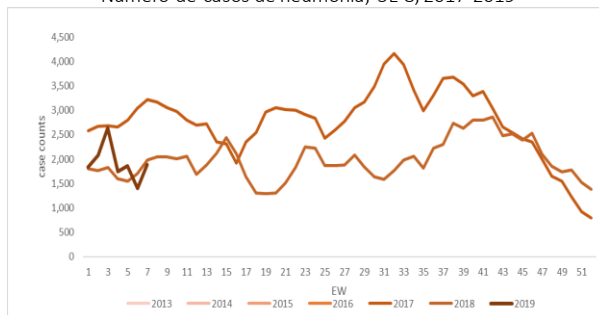


Graph 3. Guatemala: Percent positivity for influenza; EW 8, 2019
(in comparison to 2010-2018)
Porcentaje de positividad de influenza, SE 8, 2019
(en comparación con 2010-2018)

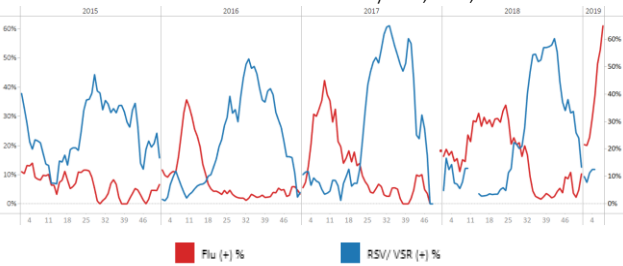


The averaging methodology to determine the alert threshold and epidemic curve references the methodology in the WHO Global Epidemiological Surveillance Standards for Influenza (2014). The influenza percent positivity is calculated using the 3-week averaging method.

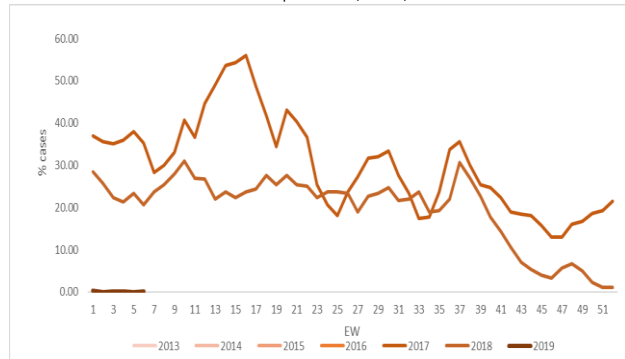
Graph 5. Guatemala: Number of pneumonia cases, EW 8, 2017-2019
Número de casos de neumonía, SE 8, 2017-2019



Graph 2. Guatemala: Influenza and RSV distribution, EW 8, 2015-19
Distribución de los virus influenza y VRS; SE 8, 2015-19



Graph 4. Guatemala: Number of SARI cases, EW 8, 2017-2019
Número de casos por IRAG, SE 8, 2017-2019



Graph 6. Guatemala: Number of ARI cases, EW 8, 2017-2019
Número de casos por IRA, SE 8, 2017-2019



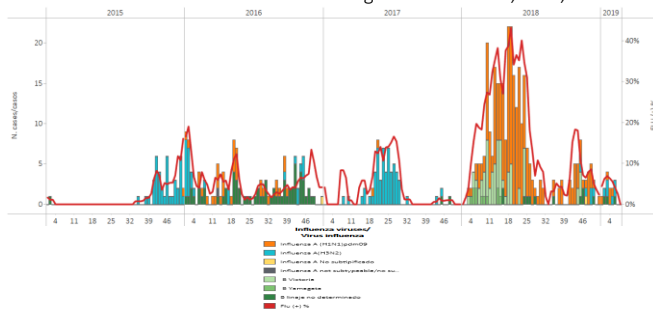
*To view more epi data, view [here](#). / Para ver más datos epi, vea [aquí](#).

Honduras

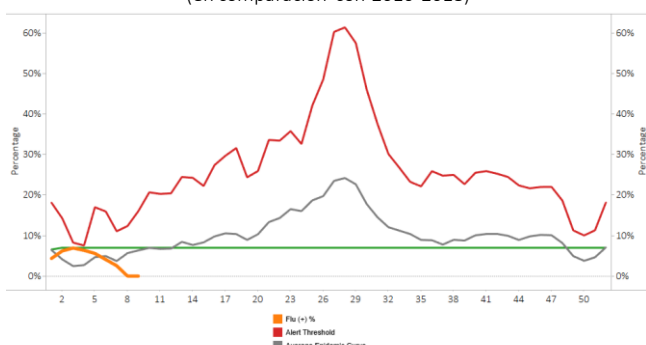
- During EW 8, no influenza activity was reported by the sentinel sites (Graphs 1,3). After a peak in EW 48, RSV activity steadily decreased (Graph 2). During EW 8, the counts of SARI cases (21) decreased as compared to the previous weeks and remained lower than the levels of the 2012-18 seasons; all SARI cases were in children younger than 5 years (Graph 4). / Durante la SE 8, no se reportó actividad de influenza en los sitios centinela (Gráficos 1,3). Después de un pico en la SE 48, la actividad del VRS disminuyó considerablemente (Gráfico 2). Durante la SE 8, los conteos de casos de IRAG (21) disminuyeron en comparación con las semanas previas y permanecieron menores que los niveles de las temporadas 2012-18; todos los casos de IRAG ocurrieron en niños menores de 5 años (Gráfico 4).

Graph 1. Honduras: Influenza virus distribution from sentinel surveillance, EW 8, 2015-19

Distribución virus de la influenza de la vigilancia centinela, SE 8, 2015-19



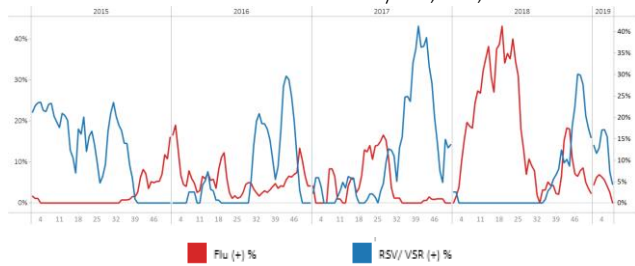
Graph 3. Honduras : Percent positivity for influenza, from sentinel surveillance; EW 8, 2019 (in comparision to 2010-2018)
Porcentaje de positividad de influenza, de la vigilancia centinela; SE 8, 2019 (en comparación con 2010-2018)



The averaging methodology to determine the alert threshold and epidemic curve references the methodology in the WHO Global Epidemiological Surveillance Standards for Influenza (2014). The influenza percent positivity is calculated using the 3-week averaging method.

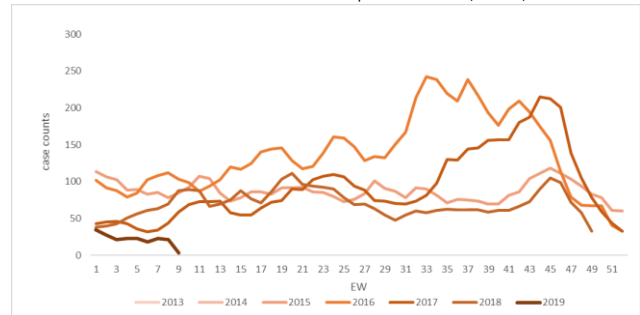
Graph 2. Honduras: Influenza and RSV distribution form sentinel surveillance, EW 8, 2015-19

Distribución de los virus influenza y VRS, SE 8, 2015-19



Graph 4. Honduras: Number of SARI cases out of total hospitalizations, EW 8, 2015-2019

Número de casos de IRAG de todas hospitalizaciones; SE 8, 2015-2019

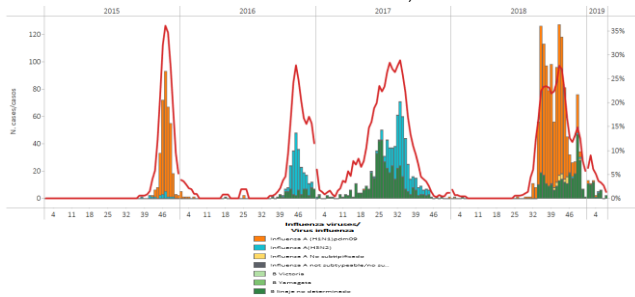


Nicaragua

- During EW 8, 2019, low influenza activity was reported slightly above the seasonal levels and the average epidemic curve, with influenza B circulating (Graphs 1, 3); no activity of RSV was reported since EW 4 (Graph 2). Pneumonia case counts continued increasing in EW 8 of 2019 but remained below the levels observed in the previous seasons (Graph 4). The SARI case counts from sentinel surveillance increased in EW 8 and were above previous seasons level (Graph 5). / En la SE 8 de 2019, se reportó baja actividad de influenza ligeramente por encima de los niveles estacionales y de la curva epidémica promedio, con circulación de influenza B (Gráficos 1, 3); no se reportó actividad del VRS desde la SE 4 (Gráfico 2). El conteo de casos de neumonía continuó en aumento en la SE 8 de 2019 pero permaneció por debajo de los niveles observados en las temporadas previas (Gráfico 4). Los conteos de IRAG de la vigilancia centinela aumentaron en la SE 8 y estuvieron por encima de los niveles de temporadas anteriores (Gráfico 5).

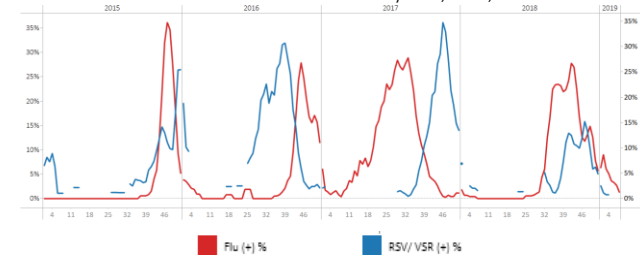
Graph 1. Nicaragua. Influenza virus distribution EW 8, 2015-19

Distribución de influenza SE 8, 2015-19

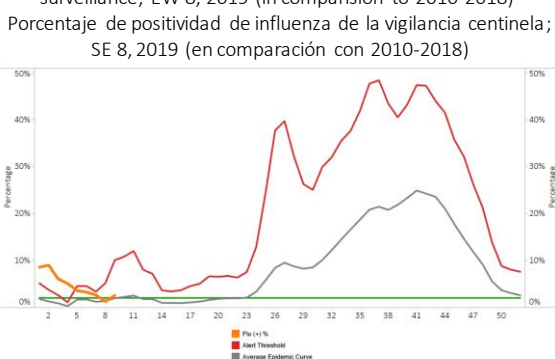


Graph 2. Nicaragua: Influenza and RSV distribution, EW 8, 2015-19

Distribución de los virus influenza y VRS, SE 8, 2015-19



Graph 3. Nicaragua : Percent positivity for influenza, from sentinel surveillance; EW 8, 2019 (in comparision to 2010-2018)



The averaging methodology to determine the alert threshold and epidemic curve references the methodology in the WHO Global Epidemiological Surveillance Standards for Influenza (2014). The influenza percent positivity is calculated using the 3-week averaging method.

Graph 4. Nicaragua : Number of pneumonia cases, EW 8, 2016-2019

Número de casos de neumonía, SE 8, 2016-2019



Graph 5. Nicaragua : Number of SARI cases from sentinel surveillance, EW 8, 2016-2019

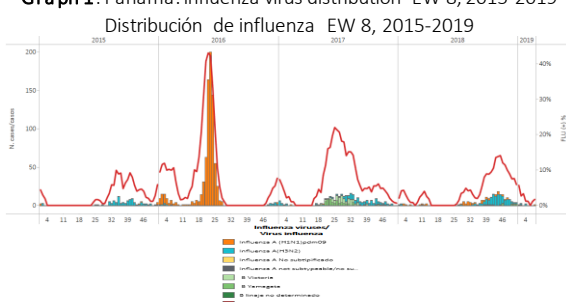
Número de casos de IRAG de vigilancia centinela, EW 8, 2016-2019



Panama

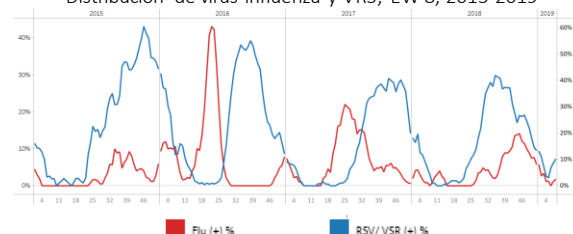
- During the EW 8, 2019, at the national level, influenza activity slightly increased above the seasonal threshold and the average epidemic curve, as compared to the 2010-18 period (Graphs 1, 3). RSV activity increased as compared to the previous weeks (Graph 2). / En la SE 8 de 2019, la actividad de influenza aumentó ligeramente sobre el umbral estacional y la curva epidémica promedio, en comparación con el período 2010-18 (Gráficos 1, 3). La actividad del VRS aumentó con respecto a las semanas previas (Gráfico 2).

Graph 1. Panama: Influenza virus distribution EW 8, 2015-2019



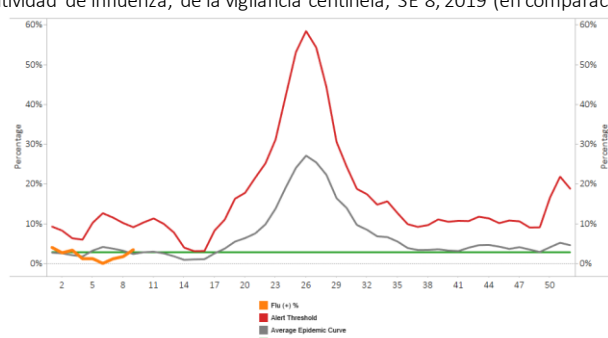
Graph 2. Panama: Influenza and RSV distribution, EW 8, 2015-2019

Distribución de virus influenza y VRS, EW 8, 2015-2019



Graph 3. Panama: Percent positivity for influenza,from sentinel surveillance, EW 8, 2019 (in comparision to 2010-2018)

Porcentaje de positividad de influenza, de la vigilancia centinela, SE 8, 2019 (en comparación con 2010-2018)



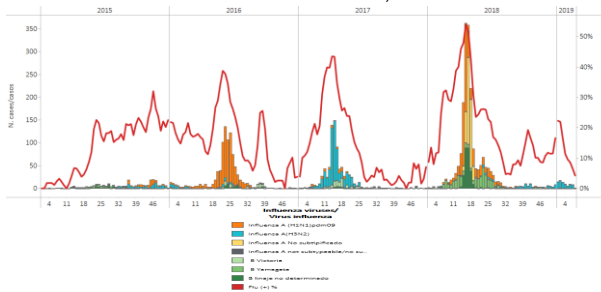
The averaging methodology to determine the alert threshold and epidemic curve references the methodology in the WHO Global Epidemiological Surveillance Standards for Influenza (2014). The influenza percent positivity is calculated using the 3-week averaging method.

*To view more epi data, view [here](#). / Para ver más datos epi, vea [aquí](#).

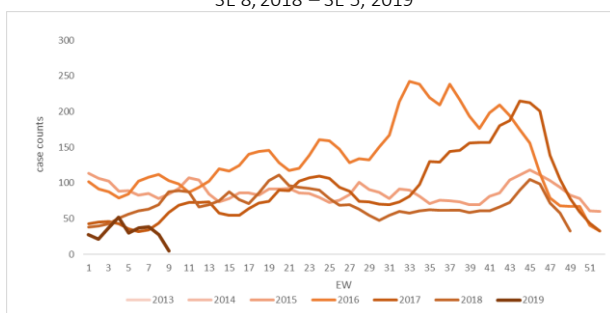
Bolivia

- During EW 8, the percentage of SARI cases decreased compared with previous weeks and was below the levels observed in the 2018 season for the same period (Graph 3); RSV percent positivity among SARI cases was slightly higher than the influenza positivity (Graph 2). Influenza activity decreased from the previous week and continued below the average epidemic curve, with influenza A(H3N2) circulating (Graphs 1,5). During EW 8, 2019, RSV activity continued to increase (Graph 2). / Durante la SE 8, el porcentaje de casos de IRAG disminuyó comparado con las semanas precedentes y estuvo por debajo de los niveles observados en la temporada 2018 para el mismo período (Gráfico 3); el porcentaje de positividad para el VRS entre los casos de IRAG fue ligeramente mayor que la positividad de influenza (Gráfico 2). La actividad de influenza disminuyó con respecto a las semanas previas y continuó por debajo de la curva epidémica promedio, con circulación de influenza A(H3N2) (Gráficos 1,5). En la SE 8 de 2019, la actividad del VRS continuó elevada (Gráfico 2).

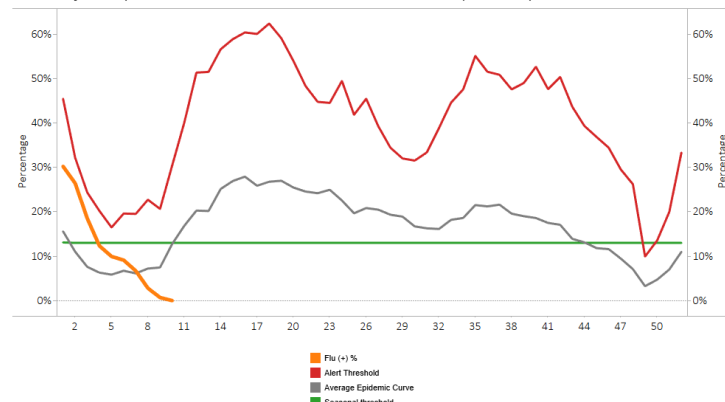
Graph 1. Bolivia. Influenza virus distribution EW 8, 2015-19
Distribución de influenza SE 8, 2015-19



Graph 3. Bolivia: Percentage of SARI cases out of total hospitalizations, EW 8, 2018 – EW 5 2019
Porcentaje de casos IRAG de todas hospitalizaciones, SE 8, 2018 – SE 5, 2019



Graph 5. Bolivia: Percent positivity for influenza, EW 8, 2018-19 (in comparison to 2010-2018)
Porcentaje de positividad de influenza, SE 8, 2018-19 (en comparación con 2010-2018)



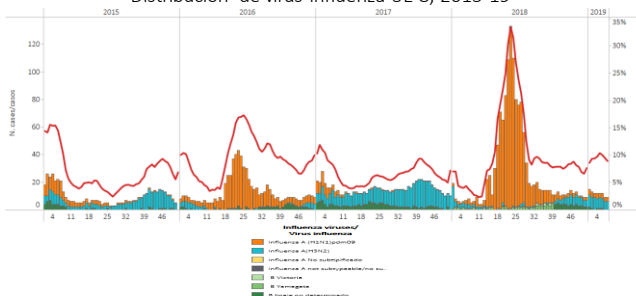
The averaging methodology to determine the alert threshold and epidemic curve references the methodology in the WHO Global Epidemiological Surveillance Standards for Influenza (2014). The influenza percent positivity is calculated using the 3-week averaging method.

*To view more epi data, view [here](#). / Para ver más datos epi, vea [aquí](#).

Colombia

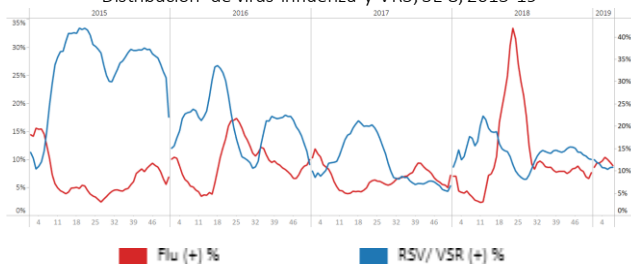
- During EW 8, at national level, SARI case counts remained low as compared to the previous seasons for the same period (Graph 4). Influenza activity decreased below the average epidemic curve, with influenza A(H3N2) and A(H1N1)pdm09 co-circulating (Graphs 1,3); RSV percent positivity slightly increased during EW 8 (Graph 2). Pneumonia activity was below the seasonal levels for the period and ARI activity increased as compared to the 2017-18 seasons (Graphs 5,6). / En la SE 8, a nivel nacional, el número de casos de IRAG permaneció bajo en comparación con las temporadas previas para el mismo período (Grafico 4). La actividad de influenza disminuyó por debajo de la curva epidémica promedio con co-circulación de influenza A(H3N2) e influenza A(H1N1)pdm09 (Gráficos 1,3); el porcentaje de positividad de VRS aumentó ligeramente en la SE 8 (Gráfico 2). La actividad de neumonía estuvo por debajo de los niveles estacionales para el período y la actividad de IRA aumentó en comparación con los niveles de las temporadas de 2017-18 (Gráficos 5,6).

Graph 1. Colombia. Influenza virus distribution EW 8, 2015-19
Distribución de virus influenza SE 8, 2015-19

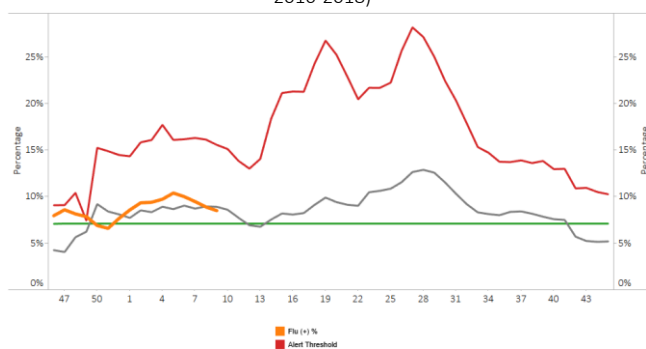


Graph 2. Colombia: Influenza and RSV distribution, EW 8, 2015-19
Distribución de virus influenza y VRS, SE 8, 2015-19

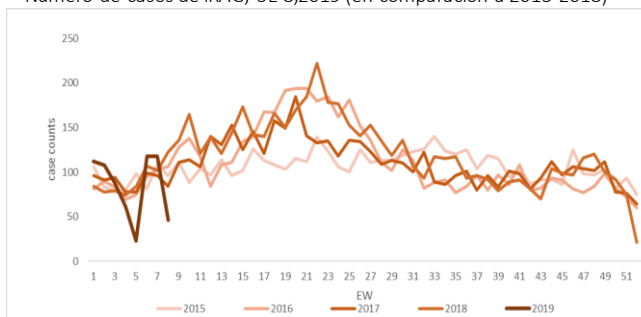
Graph 2. Colombia: Influenza and RSV distribution, EW 8, 2015-19
Distribución de virus influenza y VRS, SE 8, 2015-19



Graph 3. Colombia: Percent positivity for influenza, EW 8, 2018-19
(in comparison to 2010-2018)
Porcentaje de positividad de influenza, EW 8, 2018-19 (in comparision to 2010-2018)



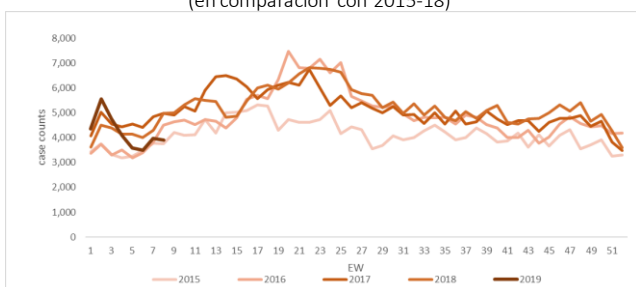
Graph 4. Colombia: Number of SARI cases, EW 8, 2019
(in comparison to 2013-2018)
Número de casos de IRAG, SE 8, 2019 (en comparación a 2013-2018)



The averaging methodology to determine the alert threshold and epidemic curve references the methodology in the WHO Global Epidemiological Surveillance Standards for Influenza (2014). The influenza percent positivity is calculated using the 3-week averaging method.

Graph 5. Colombia: Number of pneumonia-related hospitalizations, by EW 8, 2019 (in comparison with 2015-18)

Número de hospitalizaciones asociadas a neumonía, por SE 8, 2019
(en comparación con 2015-18)



Graph 6. Colombia: Number of ARI cases, EW 8, 2019
(from all consultations), in comparison with 2013-18

Número de casos de IRA, SE 8 2019 (de todas consultas),
en comparación con 2013-18

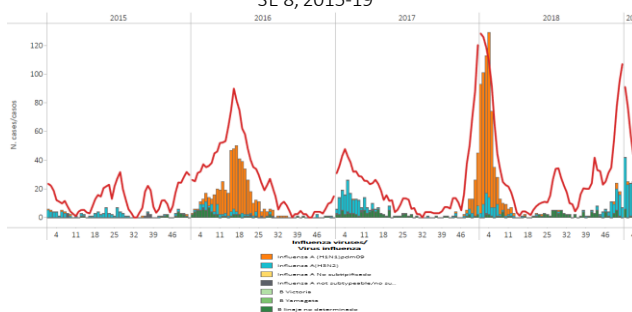


*To view more epi data, view [here](#). / Para ver más datos epi, vea [aquí](#).

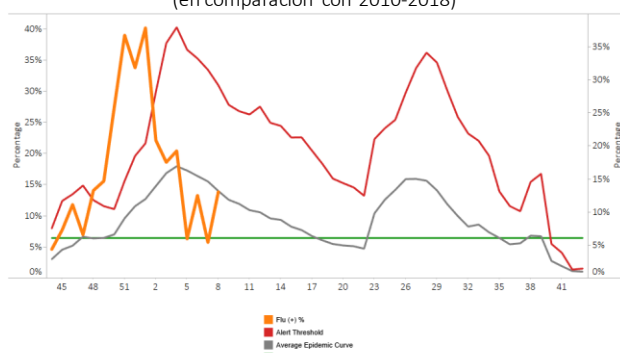
- During EW 8, at national level, the proportion of SARI cases, the proportion of ICU admissions and deaths proportions among all hospitalizations decreased from previous weeks and remained below the levels observed during the 2013 - 2018 seasons for the same period (Graphs 4,5). Influenza activity among SARI cases decreased and remained below the average epidemic curve, as compared to previous weeks with influenza A(H3N2) predominating (Graphs 1,2). During EW 8, influenza activity increased from previous weeks likewise, increased RSV activity was reported in recent weeks (Graphs 2,3). / Durante la SE 8, a nivel nacional, la proporción de casos de IRAG, admisiones a UCI y la proporción de fallecidos entre el total de hospitalizaciones disminuyeron con relación a las semanas previas y se mantuvieron por debajo de los niveles observados durante las temporadas 2013-18 para el mismo período (Gráficos 4, 5). La actividad de influenza en los casos con IRAG disminuyó y permaneció debajo de la curva epidémica promedio en comparación con las semanas previas, con predominio de influenza A(H3N2) (Gráficos 1,2). En la SE 8, la actividad de influenza aumentó en relación a las semanas previas; así mismo, se reportó incremento en la actividad del VRS en semanas recientes (Gráficos 2, 3).

Graph 1. Ecuador: Influenza virus distribution from SARI sentinel cases by EW 8, 2015-19

Distribución de virus influenza de casos de IRAG centinela SE 8, 2015-19

**Graph 3.** Ecuador: Percent positivity for influenza,EW 8, 2019 (in comparision to 2010-2018)

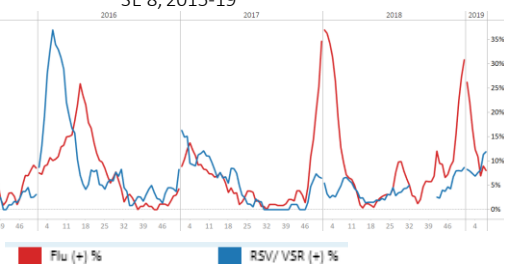
Porcentaje de positividad de influenza, SE 8, 2019 (en comparación con 2010-2018)



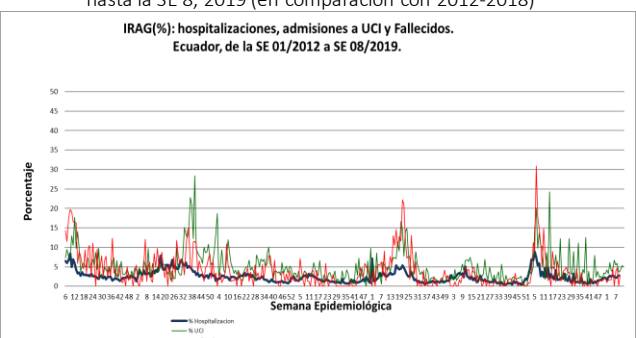
The averaging methodology to determine the alert threshold and epidemic curve references the methodology in the WHO Global Epidemiological Surveillance Standards for Influenza (2014). The influenza percent positivity is calculated using the 3-week averaging method.

Graph 2. Ecuador: Influenza and RSV distribution from SARI sentinel cases, EW 8, 2015-19

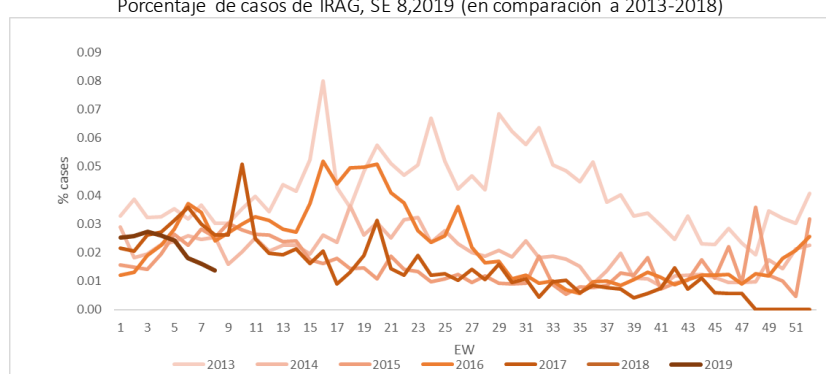
Distribución de los virus influenza y VRS de casos de IRAG centinela, SE 8, 2015-19

**Graph 4.** Ecuador: Proportion of SARI cases, ICU admissions and deaths by EW, as of EW 8, 2019 (compared to 2012-2018)

Proporción de casos de IRAG, admisiones a UCI y muertes por SE, hasta la SE 8, 2019 (en comparación con 2012-2018)

**Graph 5.** Ecuador: Percentage of SARI cases, EW 8,2019 (in comparison to 2013-2018)

Porcentaje de casos de IRAG, SE 8,2019 (en comparación a 2013-2018)

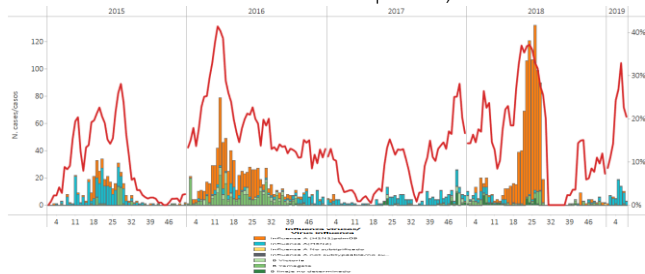


*To view more epi data, view [here](#). / Para ver más datos epi, vea [aquí](#).

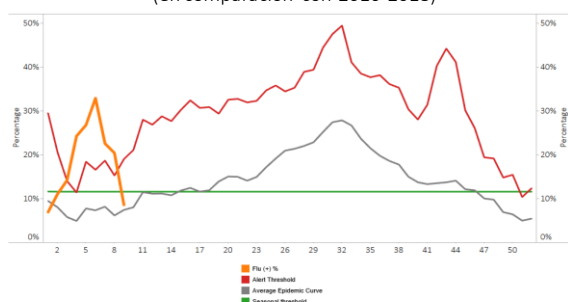
- During EW 8, at national level, SARI case counts among all hospitalizations increased from previous week and remained lower than the 2015-2018 seasons level for the same period (Graph 4). In EW 8, influenza activity decreased with influenza A(H3N2) predominance and co-circulation of parainfluenza. The percentage of positivity for influenza decreased and stayed below the seasonal threshold (Graphs 1,3). Few RSV detections were reported in EW 8 (Graph 2). During SE 8, at the national level, ARI case counts among those aged under 5 years remained the same as compared with previous week and were below the levels observed in 2016-2018 for the same period (Graph 5). Likewise, pneumonia case counts in among the < 5 years slightly increased and was lower than the counts reported in 2017 for the same period (Graph 6)*. / En la SE 8, a nivel nacional, el número de casos de IRAG entre el total de hospitalizaciones aumentó con respecto a la semana previa y se mantuvo por debajo de los niveles de las temporadas 2015-2018 para el mismo período (Gráfico 4). En la SE 8, la actividad de influenza disminuyó con la predominancia de influenza A(H3N2) y la circulación simultánea de parainfluenza. El porcentaje de positividad para influenza disminuyó y permaneció por debajo del umbral estacional (Gráficos 1,3). Se reportaron escasas detecciones de VRS en la SE 8 de 2019 (Gráfico 2). En la SE 8, a nivel nacional, el conteo de casos de IRA en los < 5 años permaneció similar comparado con la semana previa y estuvieron por debajo de los niveles observados en 2016-2018 para el mismo período (Gráfico 5). Así mismo, el conteo de casos de neumonía en niños menores de 5 años aumentó ligeramente y fue menor que los conteos reportados en 2017 para el mismo período (Gráfico 6) * .

*Online report/informe en línea

Graph 1. Peru: Influenza virus distribution by EW 8, 2015-19
Distribución de virus influenza por SE 8, 2015-19



Graph 3. Perú: Percent positivity for influenza, EW 8, 2019
(in comparison to 2010-2018)
Porcentaje de positividad de influenza, EW 8, 2019
(en comparación con 2010-2018)

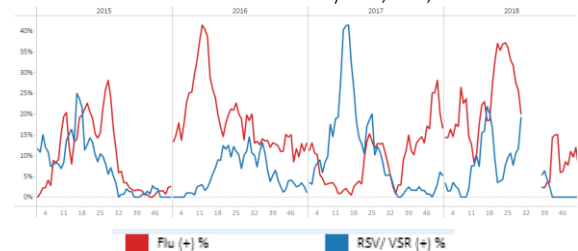


The averaging methodology to determine the alert threshold and epidemic curve references the methodology in the WHO Global Epidemiological Surveillance Standards for Influenza (2014). The influenza percent positivity is calculated using the 3-week averaging method.

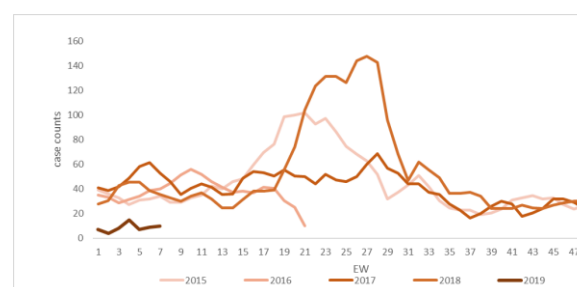
Graph 5. Peru: ARI cases in children under 5 years, EW 8, 2016-2019
Casos de IRA en niños menores de 5 años, SE 8, 2016-2019



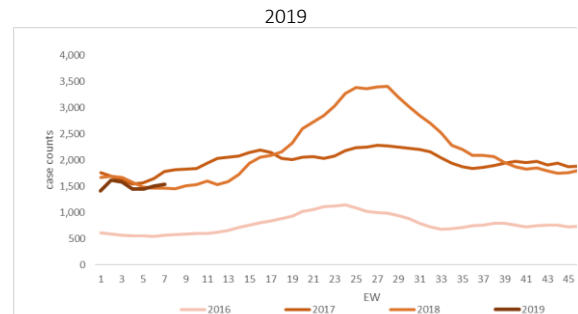
Graph 2. Peru: Influenza and RSV distribution, EW 8, 2015-19
Distribución de virus influenza y VRS, SE 8, 2015-19



Graph 4. Peru: Number of SARI cases, by EW 8, 2015-2019
Número de casos IRAG, SE 8, 2015-2019



Graph 6. Peru: Pneumonia cases in children under 5 years, EW 8, 2016-2019
Casos de neumonía en niños menores de 5 años, SE 8, 2016-2019



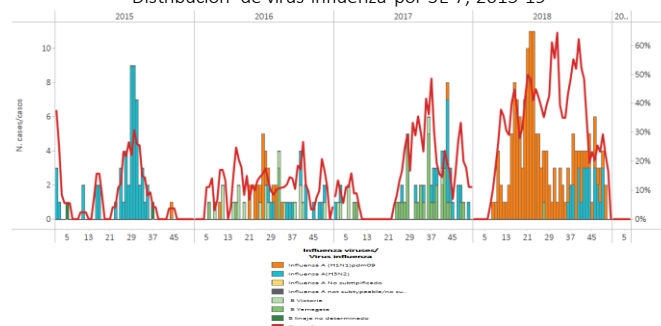
*To view more epi data, view [here](#). / Para ver más datos epi, vea [aquí](#).

Venezuela

- During EW 7, no activity of influenza was reported (Graphs 1, 2). From EW 42 to EW 52, RSV activity peaked and was higher than the levels reported in 2015-2017 for the same period, with no detections during 2019 (Graph 2). / En la SE 7, no se reportó actividad de influenza (Gráficos 1, 2). Desde la SE 42 hasta la SE 52, la actividad de VRS llegó a su pico máximo y fue superior a los niveles reportados en 2015-2017 para el mismo periodo, sin detecciones en lo que va de 2019 (Gráfico 2).

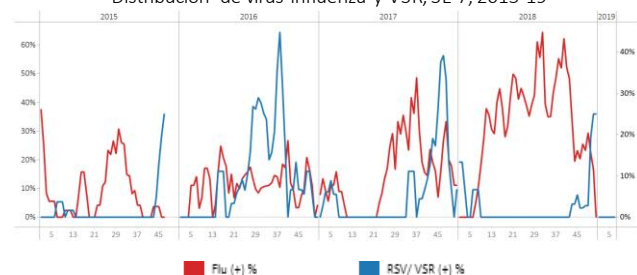
Graph 1. Venezuela: Influenza virus distribution by EW 7, 2015-19

Distribución de virus influenza por SE 7, 2015-19



Graph 2. Venezuela: Influenza and RSV distribution, EW 7, 2015-19

Distribución de virus influenza y VSR, SE 7, 2015-19

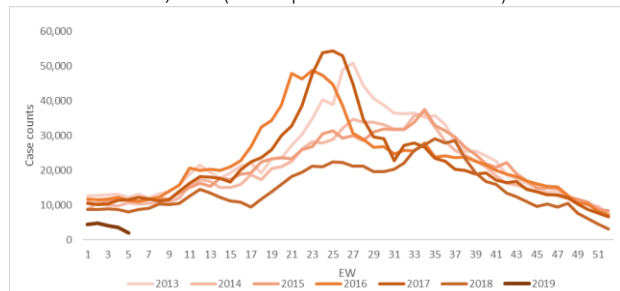


Argentina

- During EW 6, 2019 at national level, the counts of SARI and pneumonia cases decreased and were lower than the 2013-2018 seasons for the same period (Graph 2, 6). During EW 6, ILI activity was also low for the period (Graph 1). During EW 3, influenza activity decreased as compared with the previous weeks with overall few samples tested (Graphs 3, 5). RSV positivity decreased and was similar to the levels reported during the previous season for the same period (Graph 4). During 2018, 81 influenza-associated deaths were reported, lower than the levels observed during the 2017 season for the same period (114 influenza-associated deaths), mostly among the 60 years of age population and older and with risk factors (70%). / Durante la SE 6 de 2019, a nivel nacional los conteos de IRAG y neumonía disminuyeron y fueron menores que durante las temporadas 2013-2018 para el mismo período (Gráficos 2, 6). Durante la SE 52, la actividad de ETI fue baja para el período (Gráfico 1). Durante la SE 3, la actividad de influenza disminuyó en comparación con semanas previas, con conteo bajo de muestras estudiadas (Gráficos 3, 5). El porcentaje de positividad para VSR disminuyó y fue similar a lo registrado en la temporada previa para el mismo período (Gráficos 4). Durante 2018, se reportaron 81 fallecidos asociados a influenza, menor a los niveles observados durante la temporada 2017 para el mismo período (114 muertes asociadas a influenza), en su mayoría entre la población de 60 años de edad y más, y con factores de riesgo (70%).

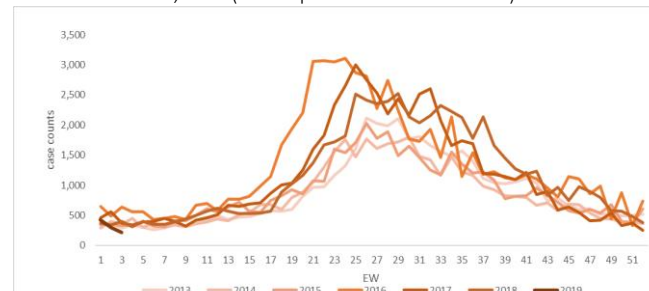
Graph 1. Argentina: Number of ILI cases from national surveillance, EW 6, 2019 (compared to 2013-2018)

Número de casos de ETI de la vigilancia nacional, SE 6, 2019 (en comparación con 2013-2018)



Graph 2. Argentina: Number of SARI cases from national surveillance; EW 6, 2019 (compared to 2013-2018)

Número de casos de IRAG de la vigilancia nacional, SE 6, 2019 (en comparación con 2013-2018)



Graph 6. Argentina: Number of pneumonia cases from national surveillance, EW 6, 2019 (compared to 2013-2018)

Número de casos de neumonía de la vigilancia nacional, SE 6, 2019 (en comparación con 2013-2018)

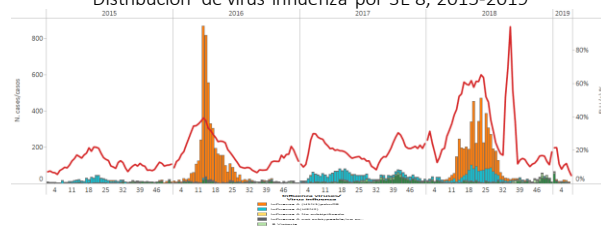


Brazil

- During EW 8, no influenza activity was reported by the three NICs (Graphs 1,3,5); likewise, RSV detections decreased in recent weeks (Graph 2). / En la SE 8, no se reportó actividad de influenza por los tres NIC (Gráficos 1,3,5); en tanto las detecciones de VRS disminuyeron en las últimas semanas (Gráfico 2).

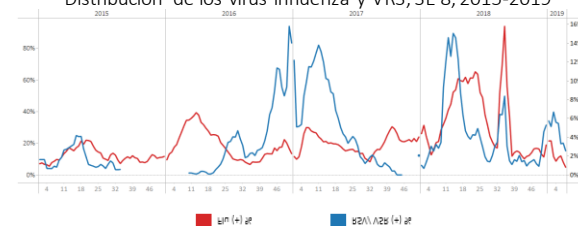
Graph 1. Brazil- All NICs. Influenza virus distribution by EW 8, 2015-2019

Distribución de virus influenza por SE 8, 2015-2019



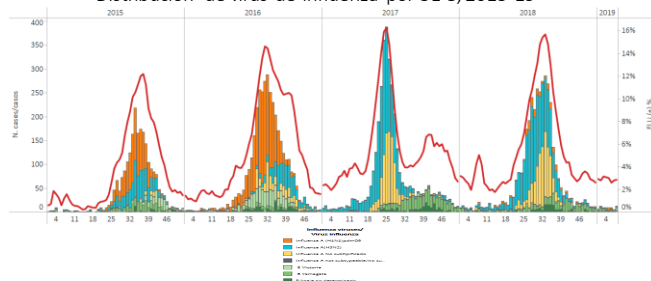
Graph 2. Brazil – All NICs: Influenza and RSV distribution, EW 8, 2015-2019

Distribución de los virus influenza y VRS, SE 8, 2015-2019

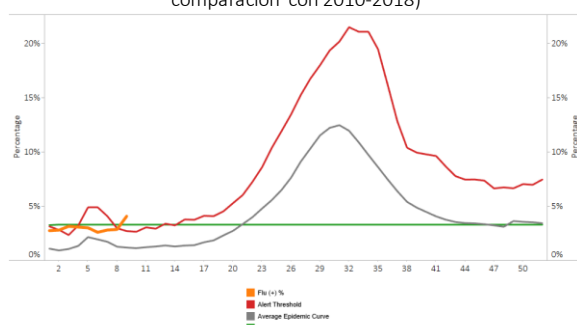


- During EW 8, at national level, SARI cases count decreased from the previous week and remained below the seasonal level (Graph 4); ILI cases count increased from previous weeks and remained at seasonal levels (Graph 5). In EW 9, 2019, influenza activity was above the alert threshold, with influenza A(H3N2) predominating in recent weeks (Graphs 1,3). RSV percent positivity remained at low levels and like the levels reported in 2015-18 for the same period (Graph 2); parainfluenza and adenovirus co-circulated with RSV during this EW 8. / Durante la SE 8, a nivel nacional, el conteo de casos de IRAG disminuyó con respecto a la semana previa y permaneció por debajo de los niveles estacionales (Gráfico 4); el conteo de casos de ETI aumentó con relación a las semanas previas y permaneció a niveles estacionales (Gráfico 5). En la SE 9 de 2019, la actividad de influenza se ubicó sobre el umbral de alerta, con predominio de influenza A(H3N2) en las últimas semanas (Gráficos 1,3). El porcentaje de positividad de VRS permaneció con niveles bajos y similar a los niveles reportados en 2015-18 para el mismo período (Gráfico 2); los virus parainfluenza y adenovirus circularon simultáneamente con el VRS.

Graph 1. Chile: Influenza virus distribution by EW 8, 2015-19
Distribución de virus de influenza por SE 8, 2015-19

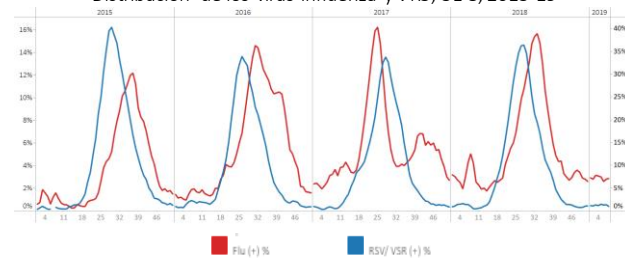


Graph 3. Chile: Baseline for the percent positivity for influenza, EW 9, 2019 (in comparison to 2010-2018)
Línea basal para el porcentaje de positividad de influenza, SE 9, 2019 (en comparación con 2010-2018)



The averaging methodology to determine the alert threshold and epidemic curve references the methodology in the WHO Global Epidemiological Surveillance Standards for Influenza (2014). The influenza percent positivity is calculated using the 3-week averaging method.

Graph 2. Chile: Influenza and RSV distribution, EW 8, 2015-19
Distribución de los virus influenza y VRS, SE 8, 2015-19



Graph 4. Chile: Number of SARI cases from all hospitalizations, EW 8, 2015-2019
Número de casos por IRAG de las hospitalizaciones totales, SE 8, 2015-2019



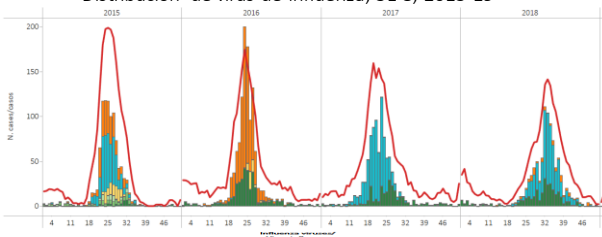
Graph 5. Chile. Number of ILI cases, EW 8, 2019, in comparison 2013-18
Número de casos ETI, SE 8, 2019, en comparación con 2013-18



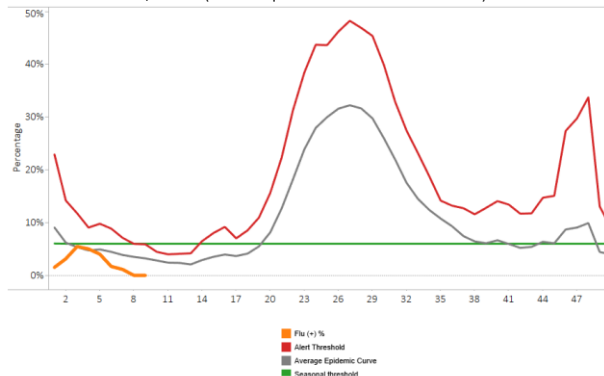
*To view more epi data, view [here](#). / Para ver más datos epi, vea [aquí](#).

- During EW 8, at national level, ILI case counts decreased and represented 6% of all consultations; ILI activity remained below the levels observed in most of the previous seasons (Graph 5). In EW 8, the percentage of SARI cases (3%) per total hospitalizations decreased from the prior week (Graph 4); the most affected age groups were among the < 5 years and those ≥ 60 years. In general, during EW 8, 2019, no influenza activity was reported as compared to previous weeks (Graphs 1, 3); RSV positivity remained like previous weeks (Graph 2). / Durante la SE 8, a nivel nacional, el recuento de casos de ETI disminuyó, y representó el 6% de todas las consultas; la actividad de ETI permaneció por debajo de los niveles observados en la mayoría de las temporadas previas (Gráfico 5). En la SE 8, el porcentaje de casos de IRAG (3%) del total de hospitalizaciones disminuyó con respecto a la semana previa, (Gráfico 4); los grupos de edad más afectados fueron los < de 5 años y los ≥ 60 años. En general, en la SE 8 de 2019, no se reportó actividad de influenza al compararse con la actividad de semanas previas (Gráficos 1, 3); la positividad de VRS permanece igual que en las semanas previas (Gráfico 2).

Graph 1. Paraguay: Influenza virus distribution EW 8, 2015-19
Distribución de virus de influenza, SE 8, 2015-19

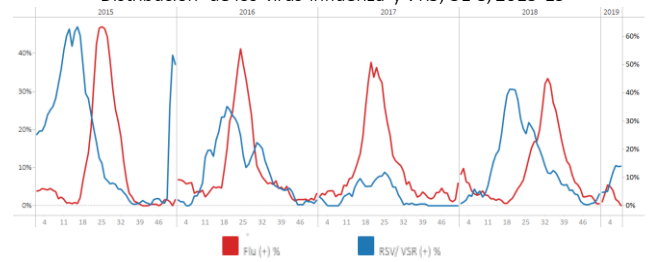


Graph 3. Paraguay: SARI sentinel sites: Baseline for the percent positivity for influenza, EW 8, 2019 (in comparison to 2010-2018)
Línea basal para el porcentaje de positividad de influenza, SE 8, 2019 (en comparación con 2010-2018)

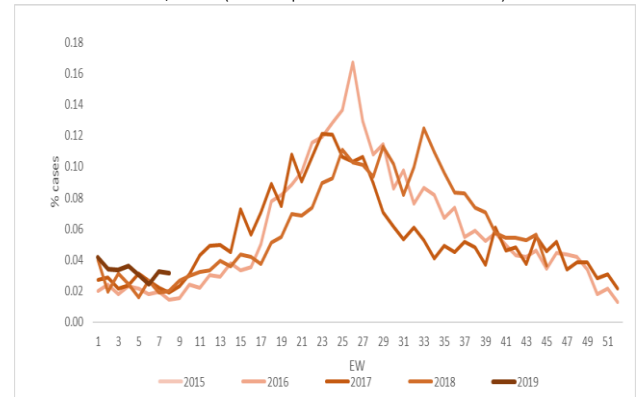


The averaging methodology to determine the alert threshold and epidemic curve references the methodology WHO Global Epidemiological Surveillance Standards for Influenza (2014). The influenza percent positivity is calculated using the 3-week averaging method.

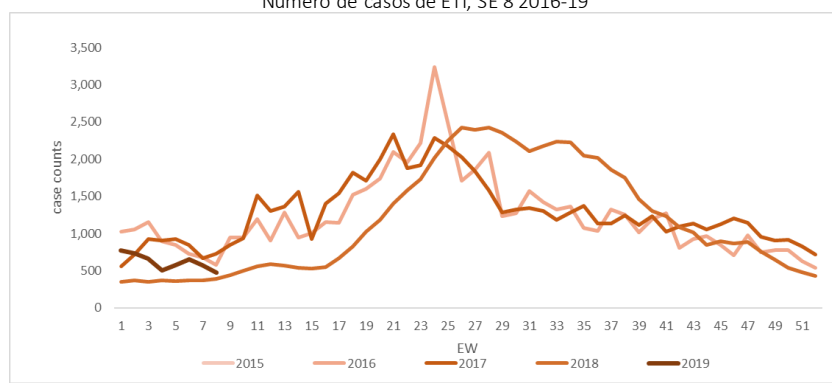
Graph 2. Paraguay: Influenza and RSV distribution, EW 8, 2015-19
Distribución de los virus influenza y VRS, SE 8, 2015-19



Graph 4. Paraguay: Percentage of SARI cases per total hospitalizations, EW 8, 2019 (as compared to 2016-2018)
Porcentaje de casos de IRAG por el total de hospitalizaciones, SE 8, 2019 (en comparación con 2016-2018)



Graph 5. Paraguay: Number of ILI cases, EW 8, 2016-19
Número de casos de ETI, SE 8 2016-19

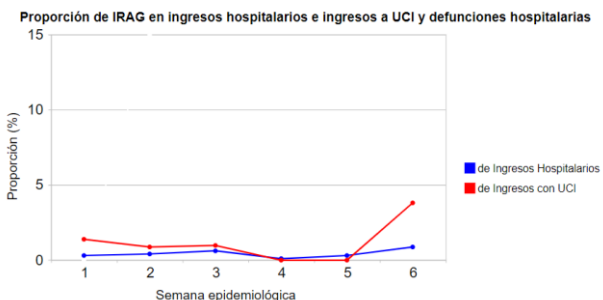


*To view more epi data, view [here](#). / Para ver más datos epi, vea [aquí](#).

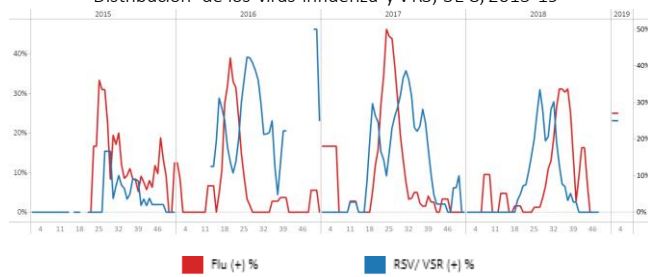
Uruguay

- From EW 2 to EW 8, no influenza activity was reported (Graphs 3,4); low RSV activity was reported among SARI cases during EW 8 (Graph 2). The percentage of SARI cases decreased during EW 7 and remained above the previous season levels (Graph 5). During EW 6 of 2019, the proportion of SARI cases requiring ICU admission was slightly higher compared with the 5 previous weeks (Graph 1). / Desde la SE 2 hasta la SE 8, no se reportó actividad de influenza (Gráficos 3,4); se reportó baja actividad de VRS en los casos de IRAG durante la SE 8 (Gráfico 2). El porcentaje de casos de IRAG disminuyó durante la SE 7 y permaneció por encima del nivel de temporadas previas. Durante la semana 6 de 2019, la proporción de casos de IRAG que fueron admitidos a la UCI fue ligeramente mayor comparada con las 5 semanas previas (Gráfico 1).

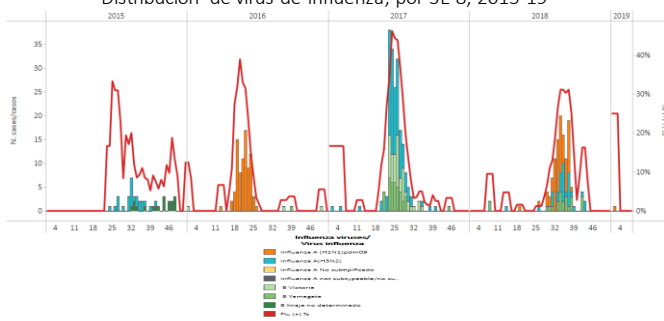
Graph 1. Uruguay: % SARI cases requiring ICU admission, EW 6, 2019;
Porcentaje de casos de IRAG admitidos a UCI, SE 6, 2019



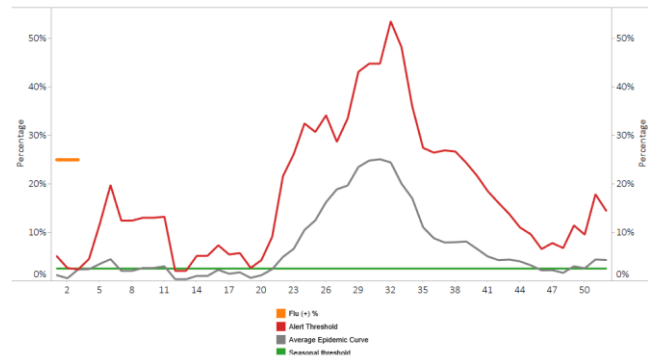
Graph 2. Uruguay: Influenza and RSV distribution, EW 8, 2015-19
Distribución de los virus influenza y VRS, SE 8, 2015-19



Graph 3. Uruguay: Influenza virus distribution by EW 8, 2015-19
Distribución de virus de influenza, por SE 8, 2015-19

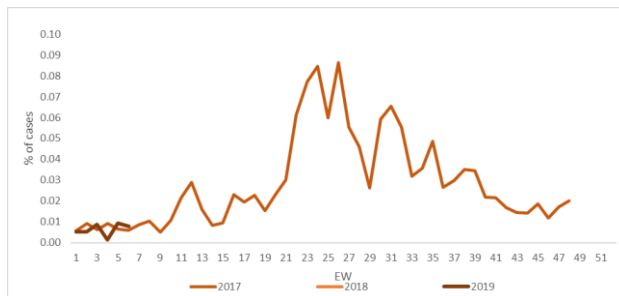


Graph 4. Uruguay: Percent positivity for influenza, EW 8, 2019
(in comparison to 2010-2018)
Porcentaje de positividad de influenza, SE 8, 2019
(en comparación con 2010-2018)



The averaging methodology to determine the alert threshold and epidemic curve references the methodology in the WHO Global Epidemiological Surveillance Standards for Influenza (2014). The influenza percent positivity is calculated using the 3-week averaging method.

Graph 5. Uruguay: Percent of SARI cases per total hospitalizations, EW 7, 2017-2019
Porcentaje de casos IRAG por total hospitalizaciones, SE 7, 2017-2019



*To view more epi data, view [here](#). / Para ver más datos epi, vea [aquí](#).

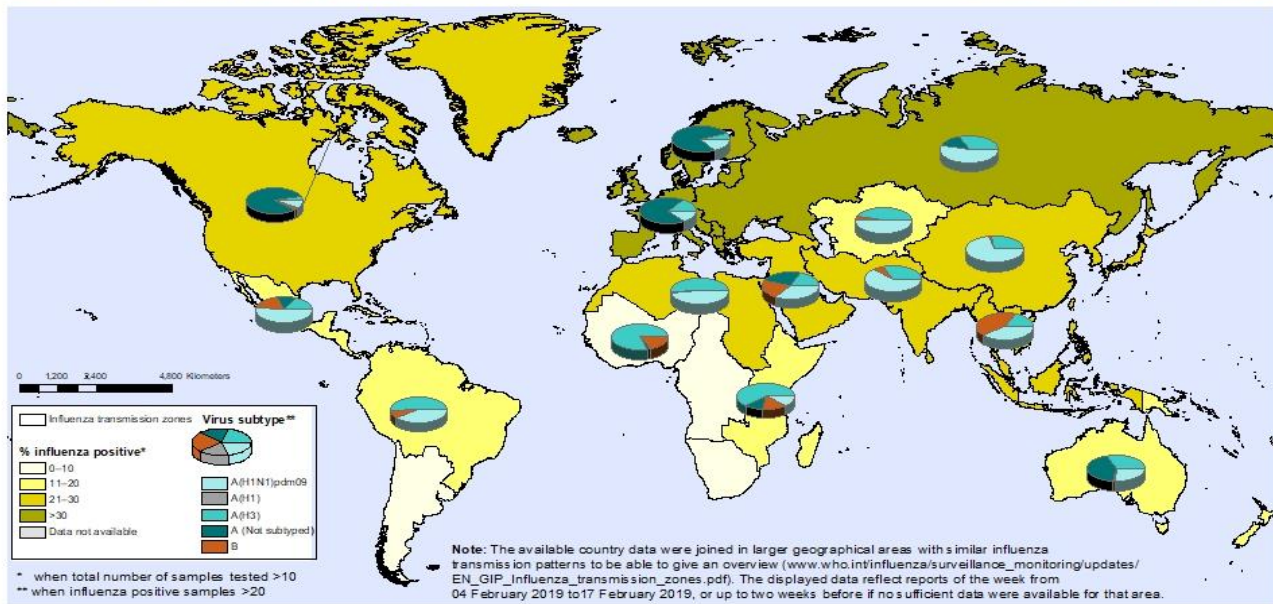
In the temperate zone of the northern hemisphere influenza activity continued to increase. In North America, influenza activity continued to increase in the United States of America, with influenza A(H1N1)pdm09 as the dominant subtype. In Europe, influenza activity remained elevated across the continent and was reported as widespread in most of the countries. Influenza A viruses co-circulated. In North Africa, influenza activity remained elevated. In Western Asia, influenza activity peaked in some countries and increased in others, with all seasonal influenza subtypes co-circulating. In East Asia, influenza activity appeared to decrease overall, with influenza A(H1N1)pdm09 virus predominating. In the temperate zones of the southern hemisphere, influenza activity remained at interseasonal levels, with the exception of some parts of Australia where influenza activity remained above inter-seasonal levels. / En la zona templada del hemisferio norte la actividad de influenza continuó en aumento. En América del Norte, en los Estados Unidos de América, la actividad de influenza continúa en aumento con el predominio de influenza A (H1N1) pdm09. En Europa, la actividad de influenza continúa elevada en todo el continente y la mayoría de los países reportó su circulación generalizada. Los virus de la influenza A circularon de manera simultánea. En el norte de África las detecciones de influenza permanecen elevadas. En el oeste asiático, la actividad de influenza alcanzó su pico en algunos países mientras que en otros aumentó, con la circulación simultánea de todos los subtipos estacionales. En el este de Asia en general, la actividad de influenza pareció disminuir, con el predominio de influenza A(H1N1)pdm09. En las zonas templadas del hemisferio sur, la actividad de influenza permanece en los niveles entre estaciones con excepción de algunas partes de Australia en donde la actividad de influenza permanece por encima de los niveles entre cada estación.

National Influenza Centres (NICs) and other national influenza laboratories from 115 countries, areas or territories reported data to FluNet for the time period from 04 February 2019 to 17 February. The WHO GISRS laboratories tested more than 220347 specimens during that time period, 74302 were positive for influenza viruses, of which 73225 (98.6%) were typed as influenza A and 1077 (1.4%) as influenza B. Of the sub-typed influenza A viruses, 19600 (65.2%) were influenza A(H1N1)pdm09 and 10447 (34.8%) were influenza A(H3N2). Of the characterized B viruses, 82 (26.2%) belonged to the B-Yamagata lineage and 231 (73.8%) to the B-Victoria lineage. / Los Centros Nacionales de Influenza (NIC) y otros laboratorios nacionales de influenza de 115 países, áreas o territorios reportaron sus datos a FluNet para el período comprendido entre el 4 de febrero y el 17 de febrero de 2019. Los laboratorios GISRS de la OMS analizaron más de 220347 muestras durante ese período, 74.302 fueron positivas para los virus de la influenza, de los cuales 73.225 (98,6%) se tipificaron como influenza A y 1.077 (1,4%) como influenza B. De los virus de influenza A a los cuales se les identificó el subtipo, 19.600 (65,2%) fueron influenza A(H1N1)pdm09 y 10.447 (34,8%) fueron influenza A (H3N2). De los virus B caracterizados, 82 (26,2%) pertenecían al linaje B-Yamagata y 231 (73,8%) al linaje B-Victoria.

Percentage of respiratory specimens that tested positive for influenza

By influenza transmission zone

Status as of 01 March 2019



The boundaries and names shown and the designations used on this map do not imply the expression of any opinion whatever on the part of the World Health Organization concerning the legal status of any country, territory, city or area or of its authorities, or concerning the delimitation of its frontiers or boundaries. Dotted and dashed lines on maps represent approximate border lines for which there may not yet be full agreement.

Data Source:
Global Influenza Surveillance and Response System (GISRS),
FluNet (www.who.int/fluinet)

World Health Organization
© WHO 2019. All rights reserved.

ACRONYMS

ARI	Acute Respiratory Infection
CARPHA	Caribbean Public Health Agency
CENETROP	Centro de Enfermedades Tropicales (Santa Cruz, Bolivia)
EW	Epidemiological Week
ILI	Influenza-like illness
INLASA	Instituto Nacional de Laboratorios de Salud (La Paz, Bolivia)
INS	Instituto Nacional de Salud
ORV	Other respiratory viruses
SARI	Severe acute respiratory infection
SEDES	Servicio Departamental de Salud (Bolivia)
ICU	Intensive Care Unit
RSV	Respiratory Syncytial Virus

ACRÓNIMOS

CARPHA	Agencia de Salud Pública del Caribe/Caribbean Public Health Agency
CENETROP	Centro de Enfermedades Tropicales (Santa Cruz, Bolivia)
ETI	Enfermedad Tipo influenza
INLASA	Instituto Nacional de Laboratorios de Salud (La Paz, Bolivia)
INS	Instituto Nacional de Salud
IRA	Infección Respiratoria Aguda
IRAG	Infección Respiratoria Aguda grave
OVR	Otros virus respiratorios
SE	Semana epidemiológica
SEDES	Servicio Departamental de Salud (Bolivia)
UCI	Unidad de Cuidados Intensivos
VRS	Virus Respiratorio Sincitial